

Structure des étoiles

SPAT0044

Marc-Antoine Dupret

Chargé de Cours

email: ma.dupret@ulg.ac.be

tel: 04 3669732

Bât. B5c, 1^{er} étage

Objectifs du cours

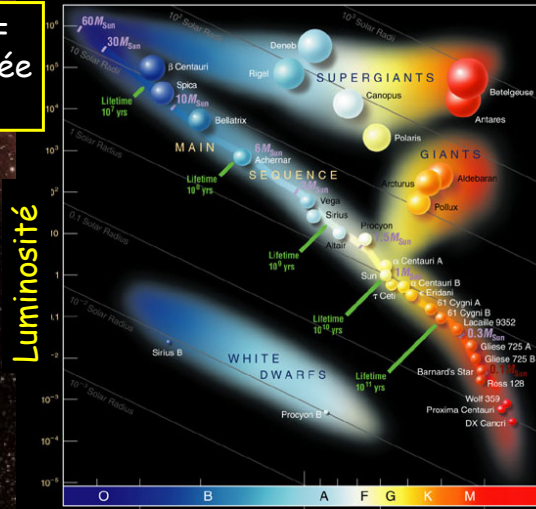
- Processus **physiques** au coeur des étoiles
étoiles = laboratoires de physique fondamentale
 - Physique quantique (rayonnement - matière) et nucléaire
 - Thermodynamique et physique statistique quantique
 - Hydrodynamique
- Présentation d'approximations simples ouvrant à une discussion **mathématique** sur les problèmes
- Lien théorie - observations

Le diagramme de Hertzsprung-Russell

$L = \text{Luminosité} = \text{Puissance rayonnée par l'étoile}$

Etoile de différentes masses, différents âges

Différentes positions dans le diagramme HR



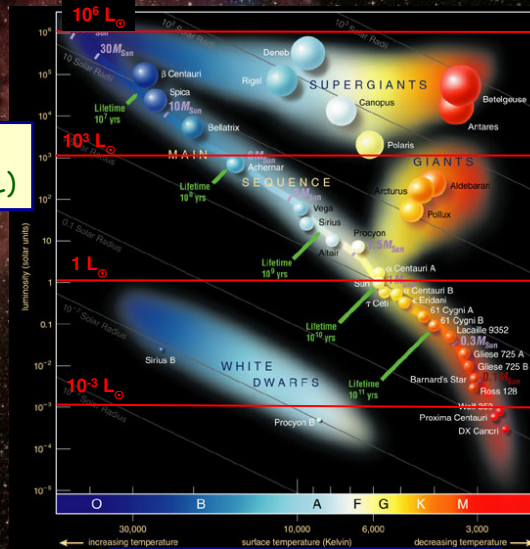
Couleur - type spectral

Température effective ~ température de surface

Ejnar Hertzsprung
Henry Norris Russell (1910)

Luminosité des étoiles

Magnitude $\log(\text{Luminosité } L)$



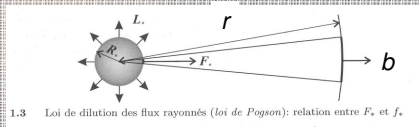
Log (Température effective)

Luminosité et magnitude (ordonnée du diagramme HR)

- **Luminosité L** : Puissance totale émise par l'étoile au travers d'une surface sphérique de rayon R (rayon de l'étoile)

$$L = 4\pi R^2 \cdot \int_0^\infty F_\lambda d\lambda$$

- **Eclat b** : flux d'énergie rayonnée au travers d'une surface sur terre perpendiculaire aux rayons lumineux [W/m²]



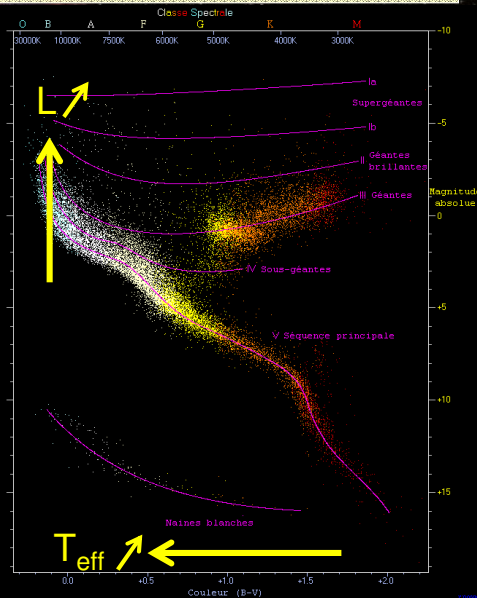
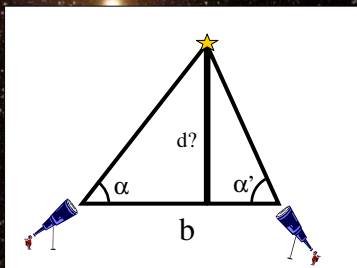
$$b = \frac{L}{4\pi r^2} = \frac{R^2}{r^2} F$$

Pour une luminosité donnée, l'éclat décroît avec la distance.

➡ Pour déduire la luminosité de l'éclat, il faut connaître la distance

Le diagramme de Hertzsprung-Russell

Etoiles dont la distance a pu être « mesurée » par le satellite Hipparcos (méthode de la parallaxe)



Luminosité et magnitude

Magnitude apparente m :

$$m = -2.5 \log b + \text{Cst} \quad m_1 - m_2 = -2.5 \log \frac{b_1}{b_2}$$

Magnitude absolue M :

ramener les éclats stellaires aux valeurs qui seraient observées si l'étoile était à la distance $r=10\text{pc}$ $\rightarrow B$

$$\frac{B}{b} = \left(\frac{r_{\text{pc}}}{10} \right)^2 \quad M = -2.5 \log B + \text{Cst}$$

$$M - m = 5 - 5 \log r_{\text{pc}}$$

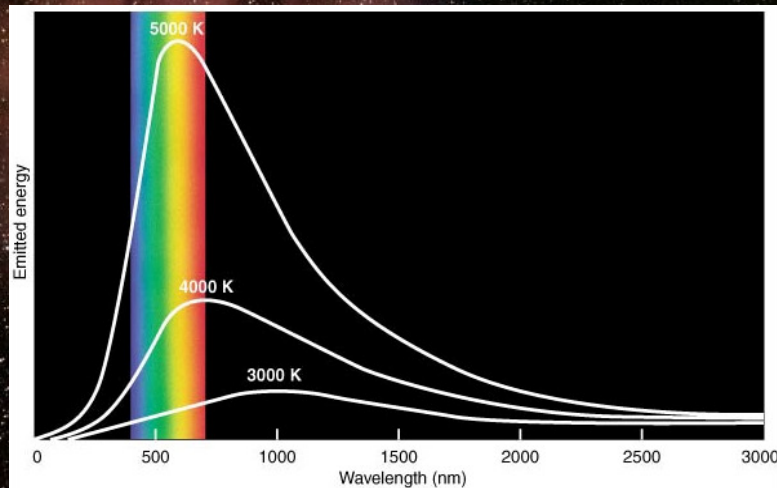
Pour passer de la magnitude apparente à la magnitude absolue, il faut connaître la distance de l'étoile

Luminosité et magnitude

- Luminosité $L = 4\pi R^2 F$ (W)
- Eclat apparent $b = L / 4\pi r^2$ (W/m²)
- Magnitude apparente $m_1 - m_2 = -2.5 \log (b_1/b_2)$
- Eclat absolu $B = b (r_{\text{pc}}/10)^2$
- Magnitude absolue $M - m = 5 - 5 \log r_{\text{pc}}$

Température effective (abscisse du diagramme HR)

Spectre d'une étoile ~ Corps Noir



Température effective

Lois des corps noirs

- Loi de Planck

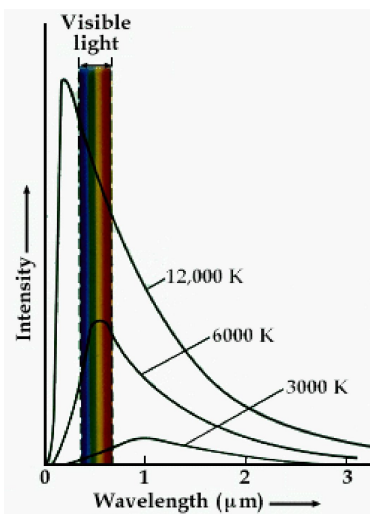
$$F_{\lambda} = \frac{2\pi hc^2}{\lambda^5} \frac{1}{\exp(hc/\lambda kT) - 1}$$

- Loi de Stefan-Boltzmann

$$F = \int_0^{\infty} F_{\lambda} d\lambda = \sigma T^4$$

- Loi de Wien

$$\lambda_{\max} (\text{cm}) = \frac{0,29}{T(K)}$$



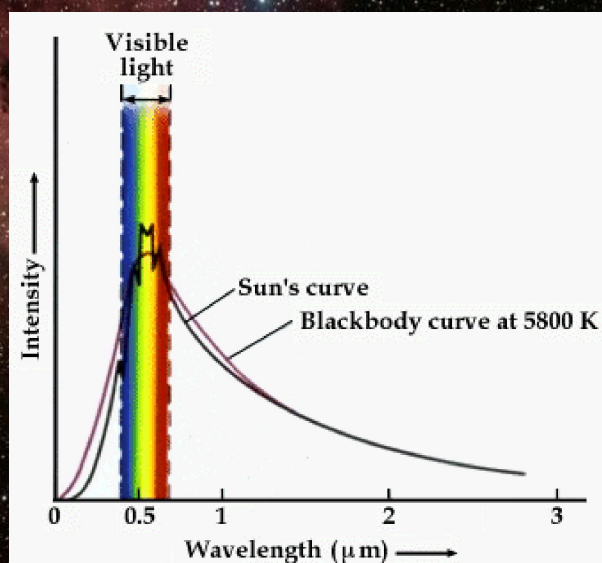
Température effective: Définition

- Température effective (T_{eff}) \equiv température du corps noir émettant un flux d'énergie identique à celui de l'étoile au niveau de sa surface

- Il vient :

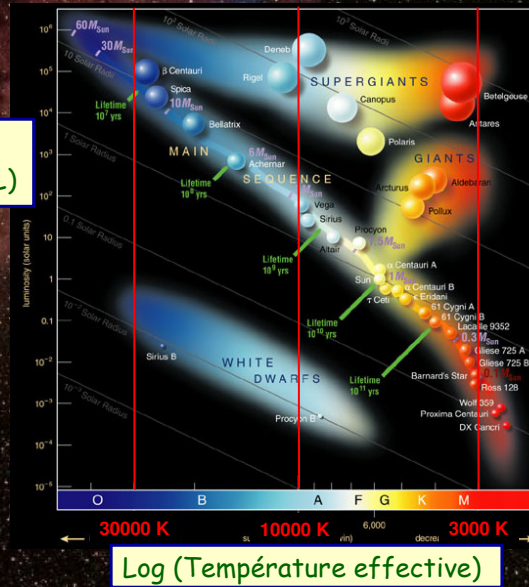
$$L = 4\pi R^2 \sigma T_{\text{eff}}^4$$

Température effective : notre Soleil



Température effective étoiles

Magnitude
log (Luminosité L)



Log (Température effective)

Taille des étoiles

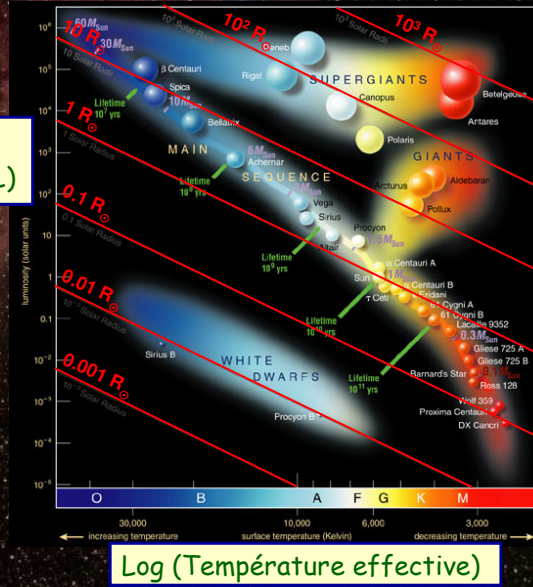
• Taille des étoiles : $F = \frac{L}{4\pi R^2} = \sigma T_{eff}^4 \rightarrow \log L = 2 \log R + 4 \log T_{eff} + Cst$



- Les étoiles de la séquence principale présentent une gamme restreinte de rayons
- Les supergéantes sont un millier de fois plus grandes que le Soleil
- Les géantes ont entre une dizaine et une centaine de fois la taille Soleil
- Les naines blanches sont une centaine de fois plus petites que le Soleil

Taille des étoiles

Magnitude
log (Luminosité L)



Le diagramme de Hertzsprung-Russell

La séquence principale

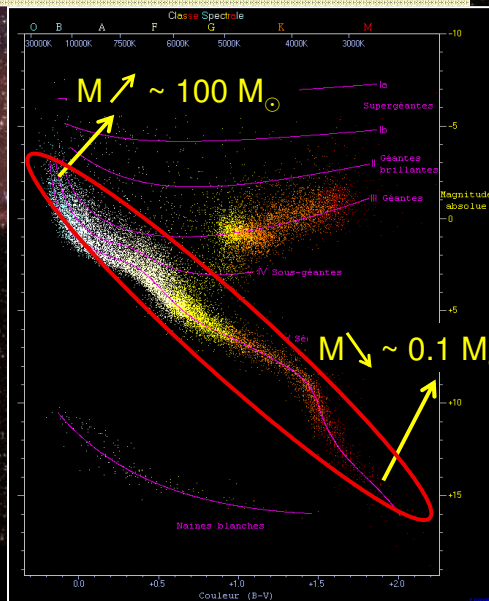
Source de l'énergie rayonnée:
Réactions thermonucléaires

Phase la plus longue: Fusion
de l'hydrogène en helium

La plupart des étoiles sont
dans cette phase

Elles occupent une région bien
précise du diagramme HR:
La séquence principale

C'est le cas de notre soleil

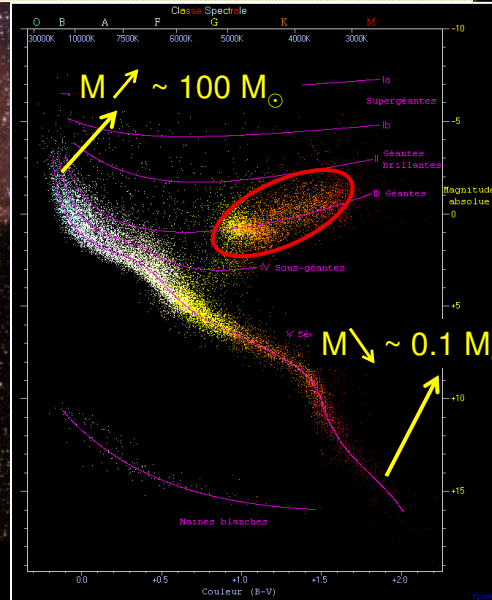


Le diagramme de Hertzsprung-Russell

Les géantes rouges

Le cœur d'une géante rouge est très dense, son enveloppe est gigantesque (atteindra l'orbite terrestre)

Phase de fusion de l'hélium en carbone et oxygène, ...

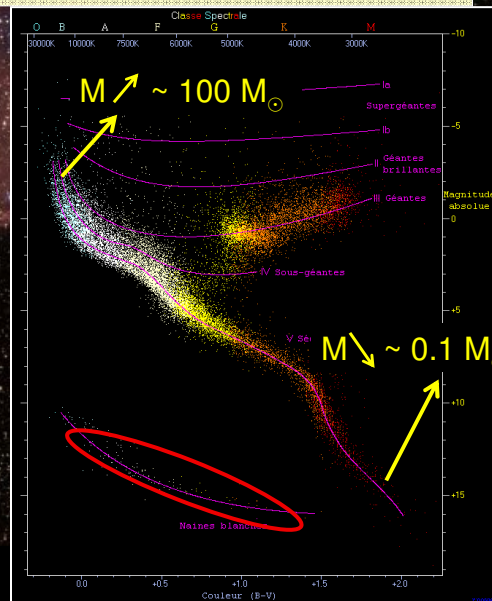


Le diagramme de Hertzsprung-Russell

Les naines blanches

Fin de la vie de notre soleil:
Petites et denses
($R \sim 0.01 R_{\odot}$, $\rho \sim 1$ tonne / cm^3)

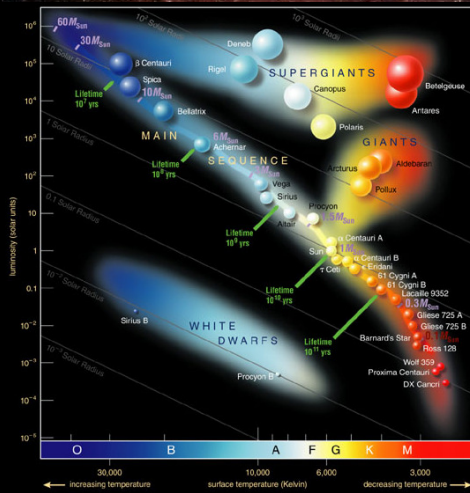
Lent refroidissement ...



Masses des étoiles

Détermination de la masse possible dans les systèmes binaires:

Troisième loi de Kepler



- Séquence principale : 0.1 - 100 M_{\odot}
- Masse des géantes : 1 - 10 M_{\odot}
- Masse des supergéantes : $\geq 20 M_{\odot}$
- Masse des naines blanches : $\approx 1 M_{\odot}$

Relation entre la masse et la luminosité pour les étoiles de la séquence principale

$$L \sim M^{\nu(>1)}$$

Caractéristiques des étoiles

$$0.08 M_{\odot} < M < 100 M_{\odot}$$

$$..0... < L < 10^6 L_{\odot}$$

$$3000 \text{ K} < T_{\text{eff}} < 100000 \text{ K}$$

$$..0... < R < 1000 R_{\odot}$$

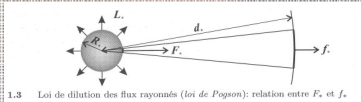
$$\text{Pop I} - \text{Pop II} \Rightarrow X, Y, Z$$

Notre Soleil

Rayon = $0.697 \times 10^6 \text{ km}$

- Mesurable connaissant :
- Sa distance d (mesure de parallaxe)
 - Son diamètre angulaire θ
- $\Rightarrow R = d \text{ tg } \theta/2$

Luminosité = $3.826 \times 10^{26} \text{ W}$



1.3 Loi de dilution des flux rayonnés (loi de Pogson): relation entre F_e et f_e .

- Mesurable connaissant :
- Sa distance d (mesure de parallaxe)
 - Le flux reçu sur terre f
- $\Rightarrow L = 4\pi d^2 f$

Température effective = 5777 K

~ Température de surface

Obtenu via sa définition :

$L = 4\pi R^2 \sigma T_{\text{eff}}^4$

Masse = $1.989 \times 10^{30} \text{ kg}$

Mesurable par la mécanique céleste,
3^{ème} Loi de Kepler : $GM = 4\pi^2 a^3/P^2$

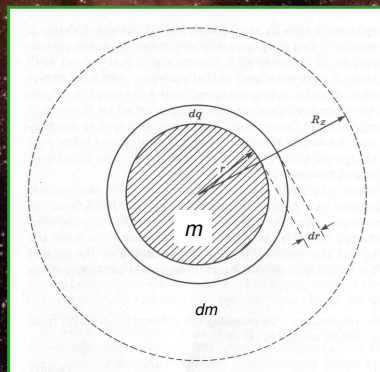
Caractéristiques interne des étoiles

Symétrie sphérique

Une seule dimension spatiale :
la distance au centre : r

Masse

Masse de chaque coquille
sphérique d'épaisseur dr



$dm = \rho dV = \rho 4\pi r^2 dr$

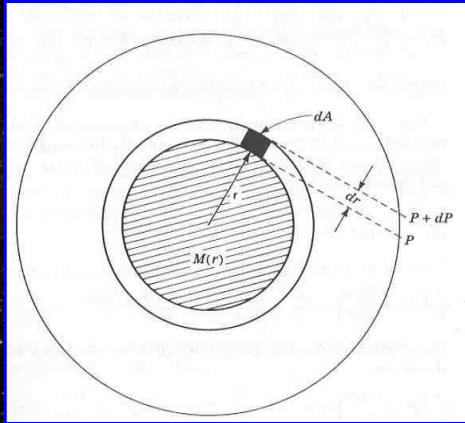
$\frac{dm}{dr} = 4\pi \rho r^2$

Soleil :

$\langle \rho \rangle = \frac{3}{4\pi} \frac{M}{R^3}$

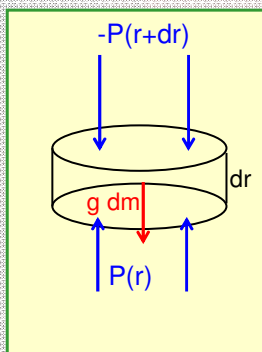
$\sim 2 \times 10^3 \text{ kg/m}^3$

Sphère de gaz à l'équilibre hydrostatique



Résultante des forces
sur chaque volume
matériel infinitésimal
= 0

Sphère de gaz à l'équilibre hydrostatique



Résultante des forces sur un volume matériel infinitésimal de section unitaire :

Pression : $-P(r+dr) + P(r)$ (force de surface)

Pesanteur : $-\rho g dr$ (force de volume)

Equilibre des forces :

$$\sum \vec{F} = 0 \quad \frac{dP}{dr} = -\rho g = -\rho \frac{Gm}{r^2}$$

Forme intégrée :
($P(R) = 0$)

$$P(r) = \int_r^R g \rho dr = \int_{m(r)}^M \frac{Gm}{4\pi r^4} dm$$

Rotation rapide et équilibre hydrostatique

Les étoiles peuvent tourner vite \Rightarrow force centrifuge:

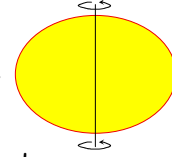
$$\nabla P / \rho = -\nabla \phi + \Omega^2 r \sin \theta \vec{e}_s \Rightarrow \text{Déformation de l'étoile}$$

\Rightarrow Toutes les grandeurs ($T, P, \rho, \vec{F}, \dots$) dépendent de 2 dimensions spatiales (r, θ) \Rightarrow bcp. plus lourd à résoudre

Vitesse critique : si $V_{eq} = \Omega r > V_{crit} \approx (GM/R)^{1/2}$,

la force centrifuge dépasse la gravité \Rightarrow enveloppe éjectée

Pour certaines étoiles (étoiles Be, ...), on n'en est pas loin !



Influence de la rotation

Affecte la structure et l'évolution de l'étoile:

- Structure 2D
- Processus de transports

Affecte les observables spectro- et photométriques (T_{eff}, \dots), car à la photosphère: $F(\theta), g_e(\theta)$

Rotation rapide et équilibre hydrostatique

La baroclinité:

$$r \sin \theta \vec{e}_s = (1/2) \nabla(r^2 \sin^2 \theta)$$

Rotationnel de l'équation d'équilibre $\nabla P / \rho = -\nabla \phi + \Omega^2 r \sin \theta \vec{e}_s$

$$\nabla \times (\nabla P / \rho) = -(1/\rho^2) \nabla \rho \times \nabla P = (1/2) \nabla(\Omega^2) \times \nabla(r^2 \sin^2 \theta)$$

\hookrightarrow Pour une rotation solide ou cylindrique ($\Omega(r \sin \theta)$): $\nabla \rho \times \nabla P = 0$

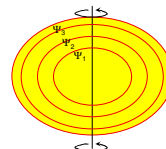
\rightarrow Isobares = Iso-densité = Isothermes : $P(\Psi), \rho(\Psi), T(\Psi), \dots$

$$\Psi = \text{Potentiel total} = \phi - \frac{1}{2} \Omega^2 r^2 \sin^2 \theta. \text{ (Rot. solide)}$$

Sinon (rotation différentielle plus complexe):

Isobares \neq Iso-densité \neq Isothermes

\hookrightarrow Baroclinité



Soleil,
modèle simplifié de
densité constante :

$$P_c = \frac{3}{8\pi} \frac{GM^2}{R^4}$$

$$\sim 5 \times 10^{14} \text{ Pa}$$

Etat hors équilibre hydrostatique

$$dm \vec{\gamma} = \sum \vec{F} = 0 \quad \text{Accélération radiale} = -\frac{1}{\rho} \frac{dP}{dr} - \frac{Gm}{r^2}$$

Temps dynamique
~ temps de chute libre
(pression supprimée)

Ordre de grandeur :

$$\frac{R}{t_{\text{dyn}}^2} = \frac{GM}{R^2} \quad \rightarrow \quad t_{\text{dyn}} = \sqrt{\frac{R^3}{GM}}$$

Soleil : $t_{\text{dyn}} = 26 \text{ min} \ll$ temps d'évolution stellaire

Durant l'essentiel de la vie de l'étoile, équilibre hydrostatique
Exception : Explosion en supernova (instabilité dynamique)

Etat de la matière stellaire

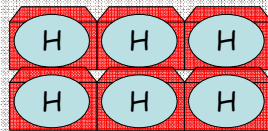
$$P_c = \frac{3}{8\pi} \frac{GM^2}{R^4}$$

$$\sim 5 \times 10^{14} \text{ Pa}$$

$$\langle \rho \rangle = \frac{3}{4\pi} \frac{M}{R^3}$$

$$\sim 2 \times 10^3 \text{ kg/m}^3$$

Atomes d'hydrogène
neutre en contact



$$d_0 \sim 10^{-10} \text{ m}$$

$$\rho = \frac{1.67 \times 10^{-27}}{(10^{-10})^3} \text{ kg/m}^3$$

Mais la répulsion entre les
atomes est-elle suffisante
pour soutenir un tel poids ?

$$P_{\text{el}} \approx \frac{e^2 / (4\pi\epsilon_0 d_0^2)}{d_0^2}$$

$$\approx 2 \times 10^{12} \text{ Pa}$$

La matière
est ionisée

Etat de la matière stellaire

La matière stellaire est ionisée : plasma

Distance moyenne entre particules $\sim 10^{-10}$ m $\gg 10^{-15}$ m Taille des noyaux

Equation d'état d'un gaz parfait : $P_g \simeq \frac{k \rho T}{\mu m_u}$

Estimation de la température centrale

$$T_c \simeq \frac{P_g \mu m_u}{k \rho} \simeq 10^7 \text{ K}$$

Température suffisante pour les réactions de fusion nucléaire

$$T_c \simeq 10^7 \text{ K} \gg T_{\text{surf}} = 5800 \text{ K}$$

Transport de l'énergie du centre vers la surface

1) Radiation

Sources d'opacité

Dans les étoiles : $k T \sim h \nu < \text{keV} \Rightarrow$ transitions électroniques

Transitions lié-lié

Transitions lié-libre

Libre-libre

Diffusion

Libre parcours moyen des photons \sim cm
à l'intérieur des étoiles !

L'intérieur des étoiles est complètement opaque
et à l'équilibre thermodynamique

Transfert de l'énergie (du centre à la surface)

1) Radiation

Au cœur des étoiles:

Libre parcours moyen
des photons :
 $\ell = (\kappa\rho)^{-1} \approx 2\text{cm}$
 \ll
 $dr / d\ln T, dr / d\ln P, \dots$

Intérieur opaque

Equilibre thermodynamique
entre rayonnement et matière

Loi de Planck : $I_\lambda = \frac{2hc^2}{\lambda^5} \frac{1}{\exp(hc/\lambda kT) - 1}$

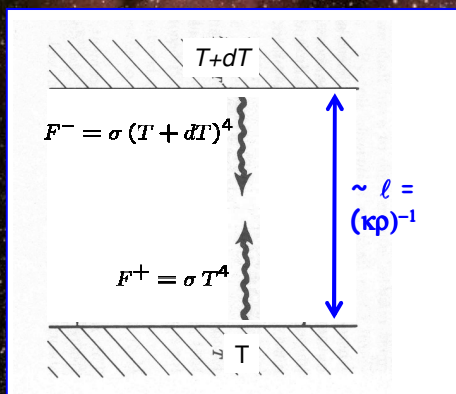
Loi de Stefan : $I = \sigma T^4 / \pi$

$$T_c \approx 10^7 \text{ K} \gg T_{\text{surf}} = 5800 \text{ K}$$

Transport de l'énergie du centre vers la surface

1) Radiation

Raisonnement approximatif



$$\begin{aligned} F &= F^+ - F^- \\ &= -\sigma((T + dT)^4 - T^4) \\ &= -\sigma \frac{dT^4}{dT} \frac{dT}{dr} \ell = -\frac{\sigma}{\kappa\rho} \frac{dT^4}{dr} \end{aligned}$$

Mais on n'a pas tenu compte
rigoureusement des différentes
directions de propagation

$$F = -\frac{4acT^3}{3\kappa\rho} \frac{\partial T}{\partial r}$$

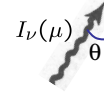
1) Radiation

Raisonnement rigoureux

Solution de l'équation de transfert radiatif

$$I_\nu(\tau) = \int_\tau^\infty B_\nu(T(\tau')) e^{-\tau'} d\tau' \simeq B_\nu(T(\tau))$$

$$\mu = \cos \theta$$



Equation de transfert radiatif $\frac{\mu}{\kappa_\nu \rho} \frac{dI_\nu}{dr} = B_\nu - I_\nu$

* 2 pi mu et integration

$$2\pi \int_{-1}^1 \frac{\mu^2}{\kappa_\nu \rho} \frac{dI_\nu}{dr} d\mu \simeq 2\pi \frac{1}{\kappa_\nu \rho} \frac{dB_\nu}{dr} \int_{-1}^1 \mu^2 d\mu$$

$$= 2\pi \int_{-1}^1 B_\nu \mu d\mu - F_\nu$$

2/3

$$F_\nu = -\frac{4\pi}{3\kappa_\nu \rho} \frac{dB_\nu}{dT} \frac{dT}{dr} \quad F = \int_0^\infty F_\nu d\nu = -\frac{4acT^3}{3\kappa\rho} \frac{dT}{dr}$$

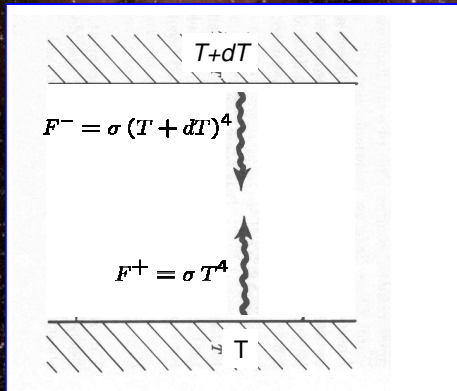
Moyenne de Rosseland $\rightarrow \frac{1}{\kappa} = \frac{\pi}{acT^3} \int_0^\infty \frac{1}{\kappa_\nu} \frac{dB_\nu}{dT} d\nu$

Transfert de l'énergie (du centre à la surface)

1) Radiation

$$L = 4\pi r^2 F$$

$$= -\frac{16\pi r^2 acT^3}{3\kappa\rho} \frac{dT}{dr}$$



$$T_{\text{centre}} \gg T_{\text{surface}}$$

Gradient de T \rightarrow L

Quelle que soit la source d'énergie

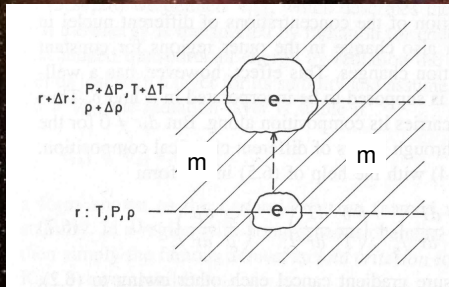
Si la source d'énergie est imposée \rightarrow L est imposée

$$\kappa \nearrow \Rightarrow |dT/dr| \nearrow$$

Exemple: zones d'ionisation partielle

Transfert de l'énergie (du centre à la surface)

2) Convection



Si $(\Delta\rho)_e < (\Delta\rho)_m$

Poussée d'Archimède vers le haut

Milieu instable vis-à-vis de la convection

Transfert de l'énergie (du centre à la surface)

2) Convection

Milieu instable vis-à-vis de la convection ssi :

$(\Delta\rho)_e < (\Delta\rho)_m$

Equilibre de pression :

$(\Delta P)_e = (\Delta P)_m$

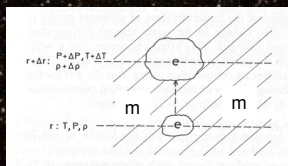
Critère en température ?

Gaz parfait
 $P=R\rho T/\mu$

$\Delta\rho/\rho = \Delta P/P - \Delta T/T$

$\Delta P/P - (\Delta T/T)_e < \Delta P/P - (\Delta T/T)_m$

$(\Delta T/T)_e > (\Delta T/T)_m$



Transfert de l'énergie (du centre à la surface)

2) Convection

Milieu instable vis-à-vis de la convection ssi :

$$(\Delta T/T)_e > (\Delta T/T)_m$$

$$\Delta T < 0$$

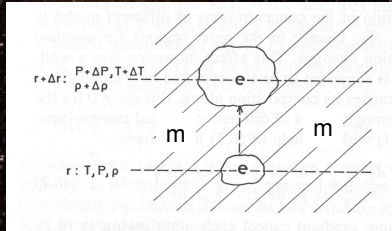
$$\Delta P < 0$$

$$|d \ln T / dr|_e < |d \ln T / dr|_m$$

$$(d \ln T / d \ln P)_e < (d \ln T / d \ln P)_m$$

$$T_e > T_m$$

Transport d'énergie !



Transfert de l'énergie (du centre à la surface)

2) Convection

Milieu instable vis-à-vis de la convection ssi :

$$(d \ln T / d \ln P)_e < (d \ln T / d \ln P)_m$$

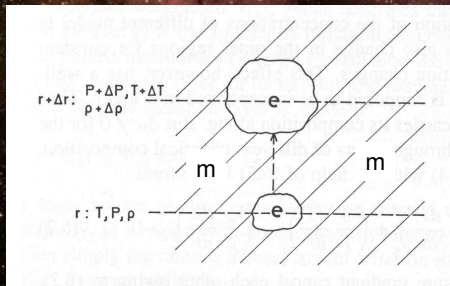
Convection efficace

→ peu de pertes radiatives

$$(d \ln T / d \ln P)_e = \partial \ln T / \partial \ln P|_s \equiv \nabla_{ad}$$

Milieu instable vis-à-vis de la convection ssi :

$$(d \ln T / d \ln P)_m \equiv \nabla > \nabla_{ad}$$



Transfert de l'énergie (du centre à la surface)

Convection + radiation

$$\frac{dT}{dr} = -\frac{3\kappa\rho L_R}{16\pi ac r^2 T^3} \div T \frac{d \ln P}{dr} = \tau \rho g / P$$

$$\frac{d \ln T}{d \ln P} = \frac{3\kappa P L_R}{16\pi ac GmT^4}$$

$$\nabla_{rad} \equiv \frac{3\kappa P L}{16\pi ac GmT^4}$$

∇_{rad} = gradient radiatif = gradient fictif nécessaire pour pouvoir transporter toute l'énergie par radiation

Critère de Schwarzschild:
Milieu instable vis-à-vis de la convection

ssi $\nabla_{rad} > \nabla_{ad}$

Transfert de l'énergie (du centre à la surface)

Critère de Schwarzschild:
Milieu instable vis-à-vis de la convection

ssi $\nabla_{rad} > \nabla_{ad}$

La convection apparaît typiquement quand :

$$\nabla_{rad} \equiv \frac{3\kappa P L}{16\pi ac GmT^4}$$

L/m
très grand

Réactions nucléaires / près du centre

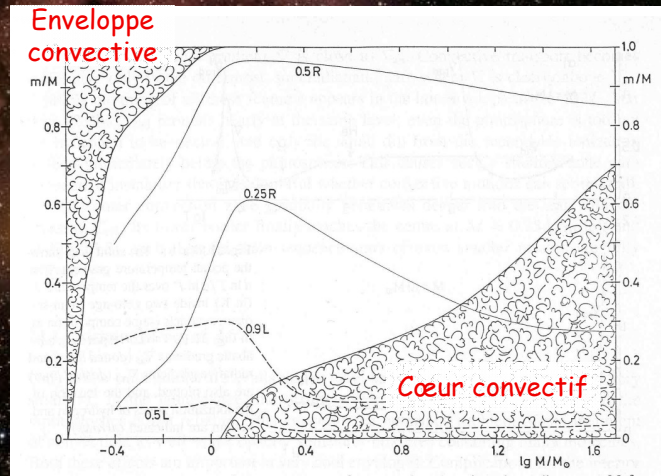
Cœur convectif

κ (opacité)
très grande

Zones d'ionisation partielle
proches de la surface

Enveloppe convective

Transfert de l'énergie (du centre à la surface)



Transfert de l'énergie (du centre à la surface)

Transport d'énergie proprement dit

$$F_c = \rho c_p \overline{V_{c,r} \Delta T} \quad (\text{flux d'enthalpie})$$

$$\approx \rho c_p T (P/\rho)^{1/2} \alpha^2 (\nabla - \nabla_{ad})^{3/2}$$

Théorie de la longueur de mélange
(très approximatif !)

Très grande
capacité calorifique

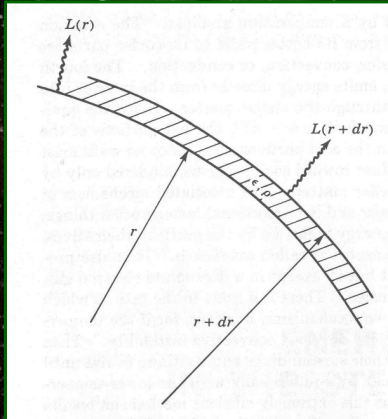
Petit $(\nabla - \nabla_{ad})$ suffit

$$\nabla \approx \nabla_{ad} \approx 2/5$$

Dans les couches
profondes où la convection
est très efficace

Gaz complètement
ionisé.

Equation de conservation de l'énergie



Bilan d'énergie :

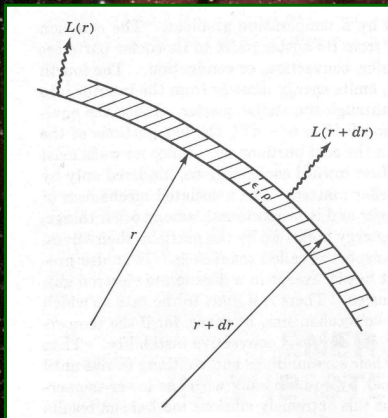
Source volumique d'énergie ds les étoiles : **réactions nucléaires**

On définit ϵ_n comme le taux de production d'énergie nucléaire par unité de masse et de temps

$\epsilon_n dm$ est la quantité d'énergie produite ds la coquille sphérique de masse dm par unité de temps

$$\epsilon_n = \epsilon_n(\rho, T, X_i)$$

Equation de conservation de l'énergie



Bilan d'énergie :

Quantité d'énergie échangée par la coquille sphérique avec l'extérieur / unité de temps :

$$L(r+dr) - L(r) = dL = \partial L / \partial r dr$$

A l'équilibre thermique :

Σ énergie fournie =

Σ énergie perdue

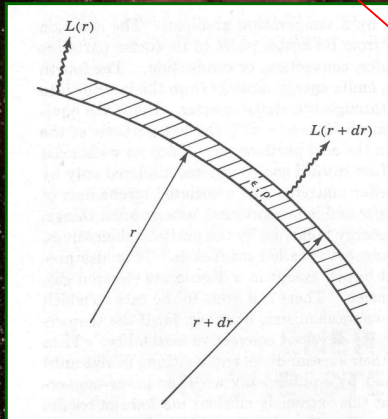
$$dL = \epsilon_n dm \Rightarrow dL/dm = \epsilon_n$$

$$\Rightarrow dL/dr = 4\pi r^2 \rho \epsilon_n$$

Equation de conservation de l'énergie

↑ Energie interne

Hors équilibre thermique :



$$\begin{aligned} \epsilon_n dm - dL &= \frac{dQ}{dt} dm \\ &= \left(\frac{du}{dt} + P \frac{dv}{dt} \right) dm = T \frac{ds}{dt} dm \end{aligned}$$

Puissance de dilatation

$$\frac{dL}{dm} = \epsilon_n - T \frac{ds}{dt}$$

Apport d'énergie venant de la contraction gravifique (voir théorème du Viriel)

ϵ_{grav}

La Rotation

La baroclinité:

$$r \sin\theta \vec{e}_s = (1/2) \nabla(r^2 \sin^2\theta)$$

Rotationnel de l'équation d'équilibre $\nabla P/\rho = -\nabla\phi + \Omega^2 r \sin\theta \vec{e}_s$

$$\nabla \times (\nabla P/\rho) = -(1/\rho^2) \nabla\rho \times \nabla P = (1/2) \nabla(\Omega^2) \times \nabla(r^2 \sin^2\theta)$$

↳ Pour une rotation solide ou cylindrique ($\Omega(r \sin\theta)$): $\nabla\rho \times \nabla P = 0$

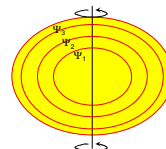
→ Isobares = Iso-densité = Isothermes : $P(\Psi)$, $\rho(\Psi)$, $T(\Psi)$, ...

$$\Psi = \text{Potentiel total} = \phi - \frac{1}{2} \Omega^2 r^2 \sin^2\theta. \text{ (Rot. solide)}$$

Sinon (rotation différentielle plus complexe):

Isobares \neq Iso-densité \neq Isothermes

↳ Baroclinité

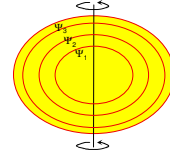


Processus non-standards: La Rotation

Le paradoxe de Von Zeipel:

Considérons la zone radiative d'une étoile en rotation solide

→ $P(\Psi), \rho(\Psi), T(\Psi), \dots$



$$\vec{F}_{\text{rad}} = -\chi \vec{\nabla} T = -\left\{ \chi(\Psi) \frac{dT}{d\Psi} \right\} \vec{\nabla} \Psi,$$

$$\vec{\nabla} \cdot \vec{F}_{\text{rad}} = -\chi \frac{dT}{d\Psi} \nabla^2 \Psi - \vec{\nabla} \left(\chi \frac{dT}{d\Psi} \right) \cdot \vec{\nabla} \Psi,$$

$$= -\chi \frac{dT}{d\Psi} [4\pi G \rho - 2\Omega^2] - \frac{d}{d\Psi} \left(\chi \frac{dT}{d\Psi} \right) (\vec{\nabla} \Psi)^2 \rightarrow \text{Non-constant sur les équipotentielles}$$

Quel que soit $T(\Psi)$, il est impossible d'avoir $\nabla \cdot (\vec{F}_{\text{rad}}) = 0$ partout !

→ Déséquilibre thermique : $\rho T [\partial_r S + \vec{v} \cdot \vec{\nabla} S] = -\vec{\nabla} \cdot \vec{F}_{\text{rad}} + \rho \epsilon \neq 0,$

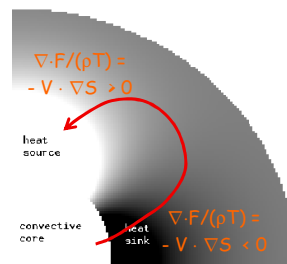
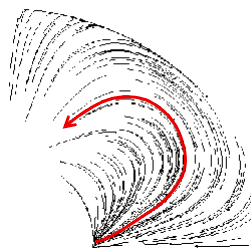
Cas stationnaire : $\vec{v} \cdot \nabla S \neq 0 \rightarrow$ **Circulation méridienne**

Processus non-standards: La Rotation

Circulation méridienne

Mécanisme de transport à grande échelle:

- 1) Transport du moment cinétique
- 2) Transport des éléments chimiques



Temps caractéristique associé à son établissement:

temps d'Eddington-Sweet: $t_{ES} = \frac{R}{U} \approx \frac{GM^2}{RL} \frac{g}{\Omega^2 R}$

Ensuite, la circulation s'adapte pour assurer le transport du moment angulaire requis par les conditions aux limites (vents, accrétion, effet de marée dans les binaires proches, ...)

Equations de structure

Conservation de la masse

$$\frac{dm}{dr} = 4\pi\rho r^2$$

Equilibre hydrostatique

$$\frac{dP}{dr} = -\frac{G\rho m}{r^2}$$

4 équations

7 inconnues ($m, \rho, P, T, L, \kappa, \epsilon$)

$$\rho = \rho(T, P, X_i), \quad \kappa = \kappa(T, P, X_i),$$

$$\epsilon = \epsilon(T, P, X_i)$$

X_i : composition chimique

Transfert d'énergie

Radiation

$$\frac{dT}{dr} = -\frac{3\kappa\rho L}{16\pi ac r^2 T^3}$$

Convection

$$\frac{dT}{dr} = -\nabla_{\text{ad}} \frac{Gm\rho T}{r^2 P}$$

Conservation de l'énergie

$$\frac{dL}{dr} = 4\pi\rho r^2 (\epsilon_n + \epsilon_{\text{grav}})$$

Equations de structure

Conservation de la masse

$$\frac{dr}{dm} = \frac{1}{4\pi\rho r^2}$$

Equilibre hydrostatique

$$\frac{dP}{dm} = -\frac{Gm}{4\pi r^4}$$

4 équations

7 inconnues ($r, \rho, P, T, L, \kappa, \epsilon$)

$$\rho = \rho(T, P, X_i), \quad \kappa = \kappa(T, P, X_i),$$

$$\epsilon = \epsilon(T, P, X_i)$$

X_i : composition chimique

Transfert d'énergie

Radiation

$$\frac{dT}{dm} = -\frac{3\kappa L}{64\pi^2 ac r^4 T^3}$$

Convection (efficace)

$$\frac{dT}{dm} = -\nabla_{\text{ad}} \frac{Gm T}{4\pi r^4 P}$$

Conservation de l'énergie

$$\frac{dL}{dm} = \epsilon_n + \epsilon_{\text{grav}}$$

Conditions aux limites

4 équations différentielles \Rightarrow 4 conditions aux limites

Au centre

Masse : $m(0) = 0$
Luminosité : $L(0) = 0$

A la photosphère

Raccord avec un modèle d'atmosphère

Température : $T = T_{\text{eff}} = (L/4\pi R^2\sigma)^{1/4}$
Pression : $P = P(T_{\text{eff}}, \log g, X_i) = f(L, R, M, X_i)$
 ≈ 0

Equations d'état et Composition chimique

Les étoiles sont composées pour l'essentiel d'

- Hydrogène (fraction en masse initiale $X \simeq 0.7$)
- Helium (fraction en masse initiale $Y \simeq 0.28$)
- Eléments lourds (« métaux »: Fe, C, N, O, ...)
fraction en masse totale $Z \simeq 0.015$ pour le soleil)

Le gaz est presque complètement ionisé à l'intérieur mais les interactions coulombiennes entre ions et électrons affectent peu les trajectoires des particules:

$(3/2) kT = E_{\text{cin}} > e^2/d$ (énergie potentielle coulombienne)

\rightarrow Gaz parfait

Equations d'état

Gaz parfait

$$P_{\text{gaz}} = n k T = \frac{k \rho T}{\mu m_u}$$

Poids moléculaire moyen (sans dim.)

Mélange de plusieurs éléments complètement ionisés

$$P_{\text{gaz}} = P_e + \sum_i P_i$$

$$n = n_e + \sum_i n_i = \sum_i (1+Z_i) n_i$$

$$n_i = \rho / (\mu_i m_u) = \rho X_i / (\mu_i m_u)$$

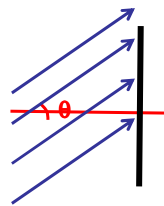
$$\mu = (\sum_i X_i (1+Z_i) / \mu_i)^{-1}$$

L'intégrale de pression

Pression = flux d'impulsion normale à une surface

Particules de mêmes direction :

$$P = n p v \cos^2 \theta$$



Gaz isotrope :

Fraction de particules faisant un angle entre θ et $\theta+d\theta$: $\sin \theta d\theta / 2$

Pression des particules d'angles $\in [\theta, \theta+d\theta]$ et impulsions $\in [p, p+dp]$:

$$dP(\theta, p) = n(p) p v \cos^2 \theta \sin \theta / 2 dp d\theta$$

Pression totale:

$$P = \int_0^\infty n(p) p v dp \int_0^\pi \cos^2 \theta \sin \theta d\theta / 2 = \frac{1}{3} \int_0^\infty v p n(p) dp$$

Equations d'état

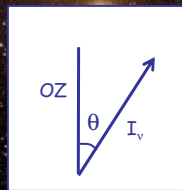
Pression de radiation

Pression = flux d'impulsion

Impulsion d'un photon projetée sur OZ :

$$p_z(\nu) = \cos \theta \, h\nu/c$$

Nbre de phot. /m³/4π rad



$$\begin{aligned} P_R &= 2\pi \int_0^\infty \int_0^\pi p_z(\nu) \frac{n(\nu)}{4\pi} c \cos \theta \sin \theta d\theta d\nu \\ &= \frac{1}{2} \int_0^\infty h\nu n(\nu) d\nu \int_0^\pi \cos^2 \theta \sin \theta d\theta \\ &= \frac{1}{3} \int_0^\infty h\nu n(\nu) d\nu = \frac{1}{3} \int_0^\infty E_\nu d\nu \\ &= \frac{1}{3} aT^4 \end{aligned}$$

Cas général non isotrope

Tenseur

Corps noir

Densité d'énergie

Equations d'état

Pression totale

$$P = \frac{k\rho T}{\mu m_u} + \frac{1}{3} aT^4$$

Dans les étoiles « chaudes »,
 $P_R = (1/3) aT^4$ peut devenir significatif
 comparativement à P_{gaz} .

Equations d'état

Pression totale

$$P = \frac{k\rho T}{\mu m_u} + \frac{1}{3} aT^4$$

Mais, gaz de fermions

Principe d'exclusion de Pauli

On ne peut avoir plus de 2 fermions identiques dans le volume de phase : $dp_x dp_y dp_z dx dy dz = h^3$

Equations d'état

Dégénérescence quantique du gaz d'électrons

Distribution de Boltzmann

$$f(p)dpdV = n_e \frac{4\pi p^2}{(2\pi m_e kT)^{3/2}} \exp\left(-\frac{p^2}{2m_e kT}\right) dp dV$$

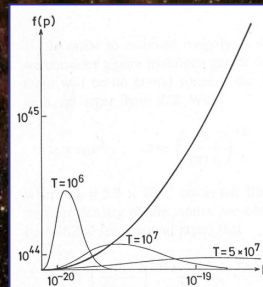
Nbre d'électrons dans dV, impulsion entre p et p+dp

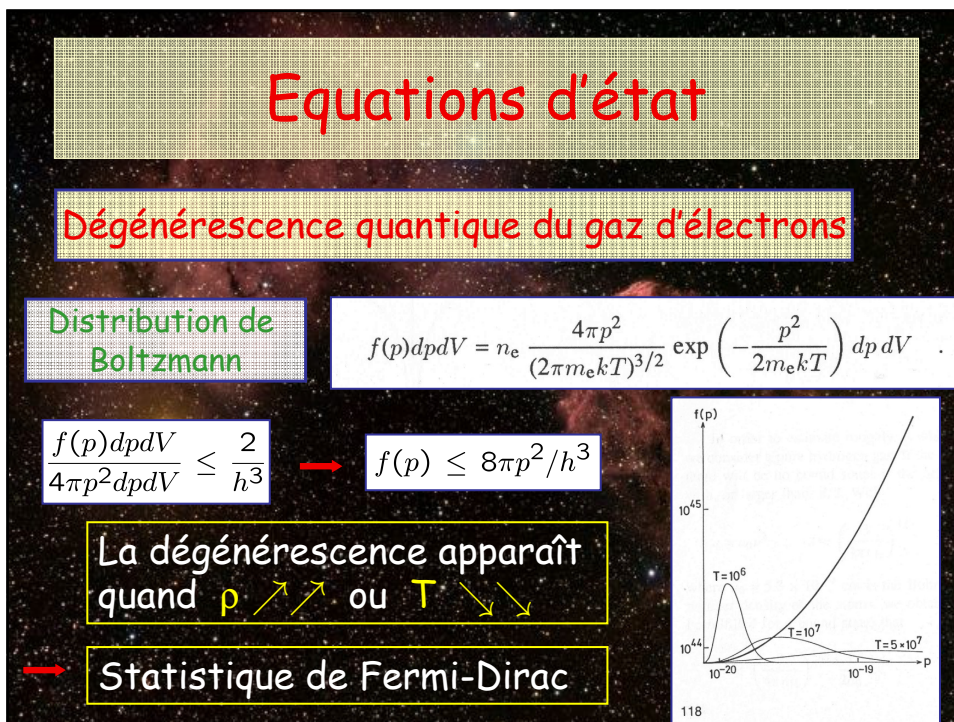
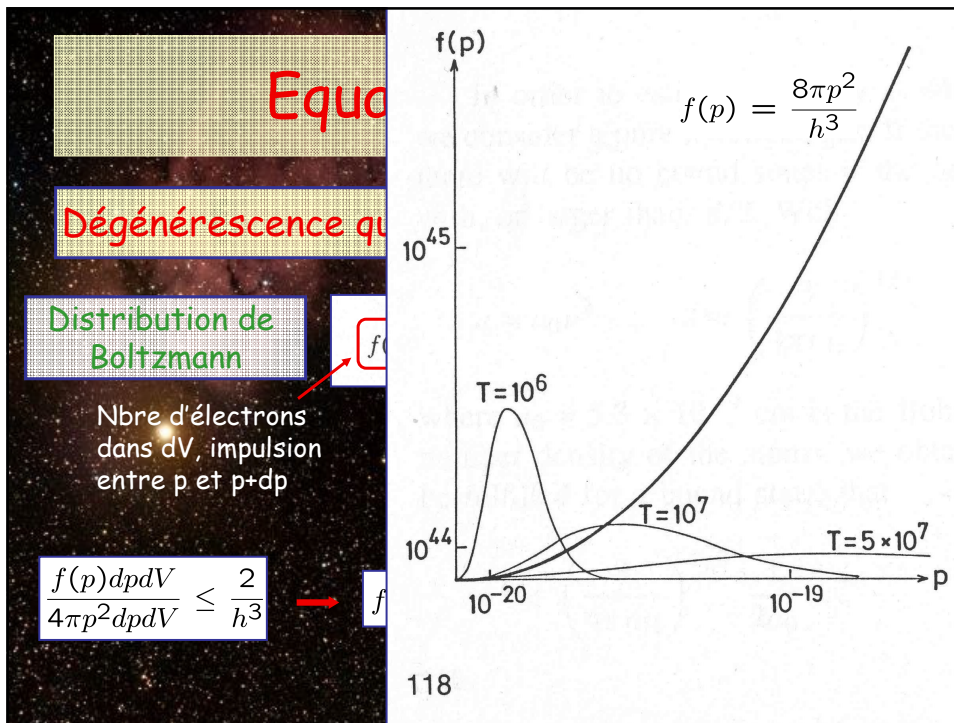
Volume occupé dans l'espace des phases:

$$4\pi p^2 dp dV$$

$$\frac{f(p)dpdV}{4\pi p^2 dpdV} \leq \frac{2}{h^3}$$

$$f(p) \leq 8\pi p^2 / h^3$$





Equations d'état

Dégénérescence quantique du gaz d'électrons

Critère de dégénérescence

Volume spatial $V_S = \frac{1}{n_e} = \frac{\mu_e m_u}{\rho}$

Volume quantique (principe d'incertitude) $V_Q \approx \lambda^3 = \frac{h^3}{(m_e v)^3}$

Pas de dégénérescence ssi : $V_Q \ll V_S$

$$\frac{h^3}{(m_e v)^3} \ll \frac{\mu_e m_u}{\rho}$$

$$m_e v^2 = 3kT \quad \frac{\rho T^{-3/2}}{\mu_e} \ll \frac{m_u (3m_e k)^{3/2}}{h^3} = 2.385 \times 10^{-5} \text{ (MKSA)}$$

La dégénérescence apparaît d'abord pour les électrons (m_e)

Equations d'état

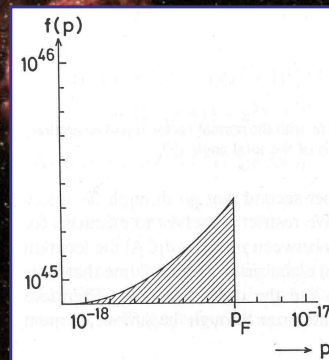
Dégénérescence quantique du gaz d'électrons

Exemple simple: gaz complètement dégénéré (T → 0)

$$f(p) = \frac{8\pi p^2}{h^3} \quad \text{si } p \leq p_F$$

$$f(p) = 0 \quad \text{sinon}$$

Impulsion de Fermi



Equations d'état

Dégénérescence quantique

Poids moléculaire
par électron

$$n_e = \int_0^{p_F} \frac{8\pi p^2}{h^3} dp = \frac{8\pi p_F^3}{3h^3} \quad \rho = m_u \mu_e n_e = \frac{8\pi m_u \mu_e p_F^3}{3h^3}$$

$$\begin{aligned} P_e &= 2\pi \int_0^{p_f} \int_0^\pi p_z \frac{f(p)}{4\pi} v_z \sin \theta d\theta dp \\ &= 2\pi \int_0^{p_f} \int_0^\pi (p \cos \theta) \left(\frac{8\pi p^2}{4\pi h^3} \right) \left(\frac{p \cos \theta}{m_e} \right) \sin \theta d\theta dp \\ &= \frac{8\pi}{15h^3} \frac{p_F^5}{m_e} \end{aligned}$$

$$P_e = \frac{8\pi}{15h^3 m_e} \left(\frac{3h^3}{8\pi m_u} \right)^{5/3} \left(\frac{\rho}{\mu_e} \right)^{5/3}$$

Cas non-relativiste

Equations d'état

Dégénérescence quantique

$$n_e = \int_0^{p_F} \frac{8\pi p^2}{h^3} dp = \frac{8\pi p_F^3}{3h^3} \quad \rho = m_u \mu_e n_e = \frac{8\pi m_u \mu_e p_F^3}{3h^3}$$

$$\begin{aligned} P_e &= 2\pi \int_0^{p_f} \int_0^\pi p_z \frac{f(p)}{4\pi} v_z \sin \theta d\theta dp \\ &= 2\pi \int_0^{p_f} \int_0^\pi (p \cos \theta) \left(\frac{8\pi p^2}{4\pi h^3} \right) \left(\frac{p \cos \theta}{m_e} \right) \sin \theta d\theta dp \\ &= \frac{2\pi c p_F^4}{3h^3} \end{aligned}$$

~~$c \cos \theta$~~

$$P_e = \frac{2\pi c}{3h^3} \left(\frac{3h^3}{8\pi m_u} \right)^{4/3} \left(\frac{\rho}{\mu_e} \right)^{4/3}$$

Cas extrêmement
relativiste

Equations d'état

Dégénérescence quantique

$$n_e = \int_0^{p_F} \frac{8\pi p^2}{h^3} dp = \frac{8\pi p_F^3}{3h^3} \quad \rho = m_u \mu_e n_e = \frac{8\pi m_u \mu_e p_F^3}{3h^3}$$

$$P_e = 2\pi \int_0^{p_f} \int_0^\pi p_z \frac{f(p)}{4\pi} v_z \sin \theta d\theta dp$$

Cas partiellement relativiste

$$v_z = v \cos \theta = \frac{p \cos \theta}{\sqrt{m_e^2 + p^2/c^2}}$$

Equations d'état

Calcul de la densité électronique et du poids moléculaire par électron :

$$\begin{aligned} n_e &= \sum_i Z_i n_i \\ &= \frac{\rho}{m_u} \sum_i Z_i \frac{X_i}{\mu_i} \end{aligned}$$

$$n_i = \rho_i / (\mu_i m_u) = \rho X_i / (\mu_i m_u)$$

Hydrogène (X), Helium (Y), métaux (pour les métaux, $Z_i/\mu_i \simeq \frac{1}{2}$)

$$n_e = \frac{\rho}{m_u} (X + Y/2 + (1 - X - Y)/2) = \frac{\rho}{m_u} \frac{1 + X}{2}$$

$$\mu_e = \frac{\rho}{n_e m_u} \simeq \frac{2}{1 + X}$$

$$\mu_e = (\sum_i X_i Z_i / \mu_i)^{-1}$$

Equations d'état

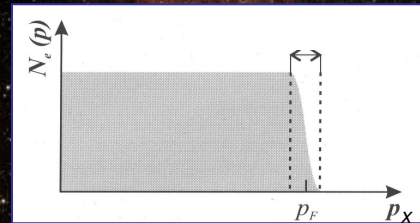
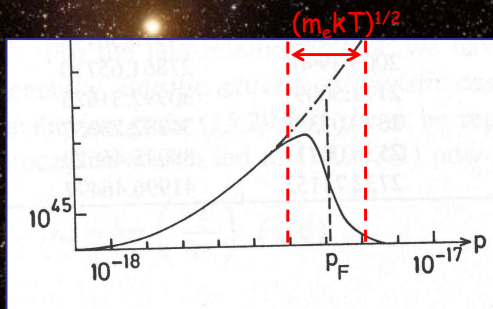
Dégénérescence quantique du gaz d'électrons

Statistique de Fermi-Dirac

$$f(p)dpdV = \frac{8\pi p^2 dpdV}{h^3} \frac{1}{1 + e^{E/kT - \psi}}$$

Pression et densité sont quasiment insensibles à la température

$$\Rightarrow \partial \ln P / \partial \ln T|_p \approx 0$$



Equations d'état

Pression de radiation:

$$P_R = \frac{1}{3} a T^4 \geq P_g = \frac{k \rho T}{\mu m_u}$$

$$\log T \geq \frac{1}{3} \log \rho + cst.$$

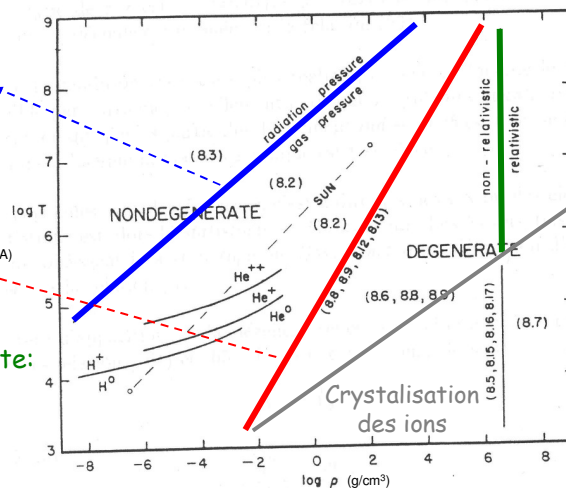
Dégénérescence:

$$\frac{\rho T^{-3/2}}{\mu_e} \geq 2.385 \times 10^{-5} \text{ (MKSA)}$$

$$\log T \leq \frac{2}{3} \log \rho + cst.$$

Dégénérescence relativiste:

$$\rho \geq \frac{8\pi m_u \mu_e (m_e c)^3}{3h^3} = 9.74 \times 10^8 \mu_e \text{ kg/m}^3$$



Equation d'état

Gaz non dégénéré :
$$P = \frac{k\rho T}{\mu m_u} + \frac{1}{3}aT^4$$

Gaz dégénéré :
$$\frac{\rho T^{-3/2}}{\mu_e} \geq 2.385 \times 10^{-5}$$

$\rho > 1 \text{ tonne/cm}^3$

$$P_e \approx K \left(\frac{\rho}{\mu_e}\right)^{5/3}$$

$$P_e \approx K^* \left(\frac{\rho}{\mu_e}\right)^{4/3}$$

Dégénérescence non relativiste

Dégénérescence relativiste

Opacité

$$\frac{dT}{dr} = - \frac{3\kappa\rho L}{16\pi ac r^2 T^3}$$

Opacité moyenne de Rosseland

$$\frac{1}{\kappa} = \frac{\pi}{acT^3} \int_0^\infty \frac{1}{\kappa_\nu} \frac{dB_\nu}{dT} d\nu$$

$$\kappa_\nu = f(\nu, T, \rho, X_i)$$

$$\kappa = \kappa(T, \rho, X_i)$$

↙ Dépend de la fréquence

Régions du spectre qui ont le plus de poids dans la moyenne :

- Pic de la distribution de Planck : $\nu \approx kT/h$
- Régions les moins opaques (moyenne harmonique)

Fonction de Planck (Corps Noir)

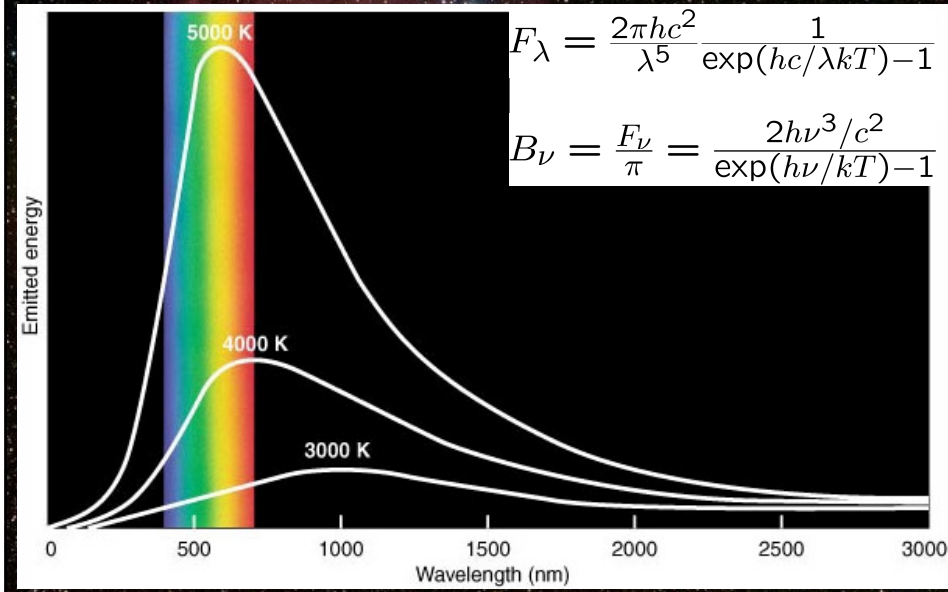


Schéma de niveaux de l'atome de H

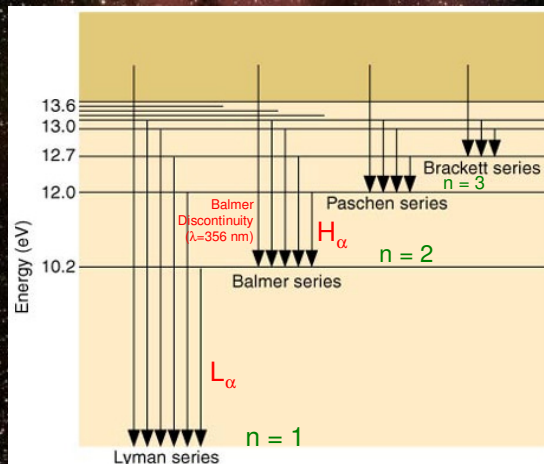
$$E_n \simeq -1/n^2 (m_e e^4 / 2\hbar^2) = -(1/n^2) h c R_\infty$$

Constante de Rydberg

$$\lambda^{-1} = R_\infty (1/k^2 - 1/n^2)$$

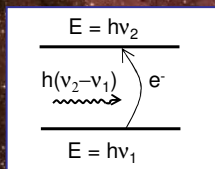
k = 1 : Série de Lyman (L_α, L_β, \dots)

k = 2 : série de Balmer (H_α, H_β, \dots)

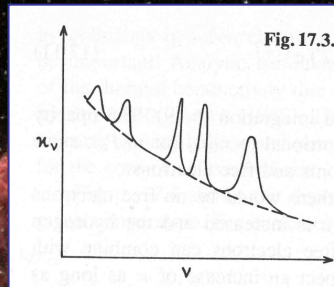


Opacité

Transitions lié-lié



Absorption pour $\nu \approx \nu_2 - \nu_1 = (E_2 - E_1)/h$

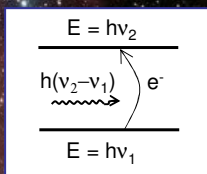


Sources d'élargissement des raies:

- **Naturel** : $\sigma(\nu) \propto \frac{1}{(\nu - \nu_0)^2 + 1/(2\pi\tau)^2}$ → Temps de vie de l'état
- **Thermique** : Effet Doppler dû à l'agitation thermique $\delta\nu/\nu \propto \sqrt{T}$
- **Collisions** (effet Stark) : Perturbation du potentiel dû à un ion voisin

Opacité

Transitions lié-lié



Calcul de l'opacité :

Nbr / m³ Section efficace

Notion de section efficace : $1/l_\nu = \kappa_\nu \rho = \sum_{i,j} n_i \sigma_{\nu i,j}$

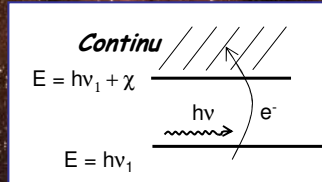
- Calcul des sections efficaces de toutes les transitions ! ...
- Calcul de l'occupation de tous les niveaux électroniques

Contribution des transitions lié-lié à l'opacité totale :

$T < 10^6$ K → jusqu'à 50%
 $T \approx 10^7$ K → moins de 10%

Opacité

Transitions lié-libre



Absorption $\forall v \geq \chi/h, E_{cin}(e^-) = hv - \chi$

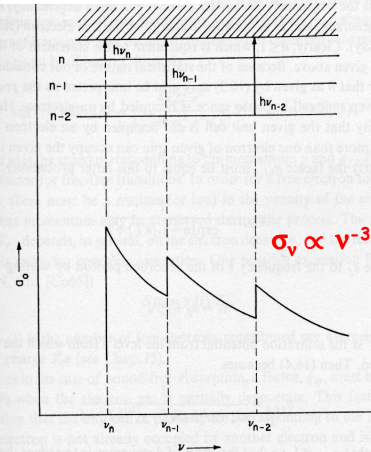
Pour une transition donnée :

$$\sigma_{v,i} \propto v^{-3}$$

Nouvelle transition possible ($v \geq \chi_i/h$)

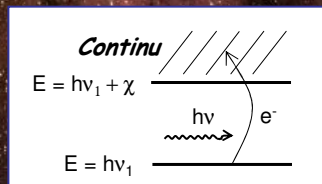
→ discontinuité

Section efficace



Opacité

Transitions lié-libre



Absorption $\forall v \geq \chi/h, E_{cin}(e^-) = hv - \chi$

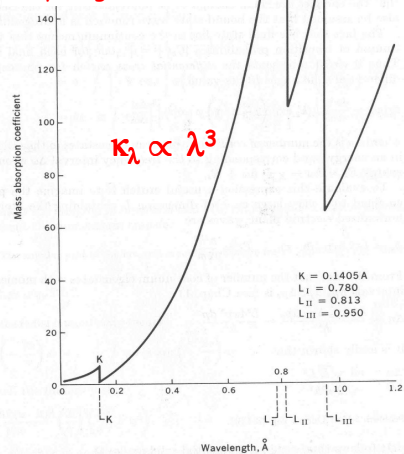
Pour une transition donnée :

$$\sigma_{v,i} \propto \lambda^3$$

Nouvelle transition possible ($\lambda \leq hc/\chi_i$)

→ discontinuité

Opacité κ_λ Ionisation de l'atome d'hydrogène



Opacité

Transitions lié-libre

Absorption $\forall \nu \geq \chi/h, E_{\text{cin}}(e^-) = h\nu - \chi$

Calcul de l'opacité :

- Calcul des sections efficaces de toutes les ionisations possibles ...
- Calcul de l'occupation des niveaux: nbr. d'électrons libres, états d'ionisation (éq. de Saha) et d'excitation (formule de Boltzmann)

En gros ... A une température donnée : $h\nu \sim kT$

Les transitions tq. $\chi_i \gg kT$ sont inaccessibles car pas assez de photons ayant l'énergie suffisante

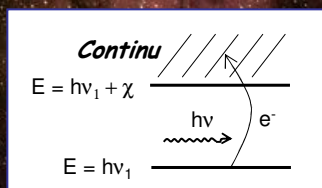
Les transitions tq. $\chi_i \ll kT$ sont inaccessibles car tous les niveaux d'ionisation de départ sont dépeuplés (éq. de Saha)



Les transitions tq. $\chi_i \simeq kT$ jouent le plus

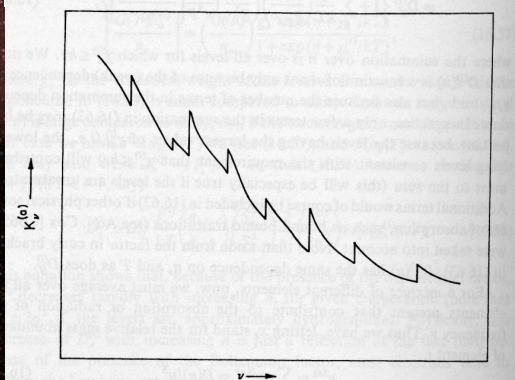
Opacité

Transitions lié-libre



Absorption $\forall \nu \geq \chi/h$

Opacité totale : compliqué !



Opacité

Transitions lié-libre

Pour une transition donnée : $\sigma_{v,i} \propto \nu^{-3}$

Dépendance vis-à-vis de la température :

En gros ... $\kappa_{\nu} \propto \nu^{-3}$, $h\nu \sim kT \rightarrow \kappa \propto T^{-3}$

Loi de Kramers (approximatif !):

$$\kappa_{bf} \cong 4.34 \times 10^{24} Z(1+X) \rho T^{-3.5} \text{ m}^2/\text{kg}$$

Z = fraction en masse des éléments lourds

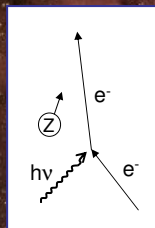
Éléments lourds principaux contributeurs car grand potentiel d'ionisation des niveaux fondamentaux

Il reste des absorbants potentiels dans les couches profondes

Opacité

Absorptions libre-libre

Bremsstrahlung inverse



$$E_{\text{cin, fin}}(e^-) = E_{\text{cin, init}}(e^-) + h\nu$$

Présence nécessaire d'un ion pour assurer la conservation de l'impulsion

$$n_e \simeq \frac{\rho}{m_u} \frac{1+X}{2}$$

Loi de Kramers (approx.)

$$\kappa_{ff} \cong 3.68 \cdot 10^{21} (X+Y) (1+X) \rho T^{-3.5} \text{ m}^2/\text{kg}$$

$\sigma_{\lambda} \propto \lambda^3/\nu$
Vitesse initiale de l'électron

$$\lambda \sim hc/(kT)$$

$$\nu \sim (3kT/m_e)^{1/2}$$

$$\kappa \propto T^{-3.5}$$

Limitation: Gaz dégénéré

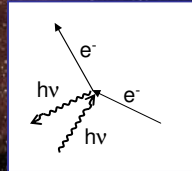
Grand nombre de transitions impossibles (cases occupées)

Opacité plus petite

Opacité

Diffusion électronique

Collision élastique
électron - photon



$$\sigma_T = 0.665 \times 10^{-28} \text{ m}^2$$

$$\kappa_{es} = 0.04 / \mu_c \text{ m}^2/\text{kg}$$

$$\cong 0.02 (1 + X)$$

Indépendant de T et v !

Interprétation
classique :

Onde électromag. → oscillation de l'électron
→ réémission dans une autre direction

Cas non-relativiste :
diffusion Thomson

Cas relativiste :
diffusion Compton

Opacité

Approximation



Lois de Kramers

Transitions bound-bound

Transitions bound-free

$$\kappa_{bf} \cong 4.34 \cdot 10^{24} Z (1 + X) \rho T^{-3.7} \text{ m}^2/\text{kg}$$

Transitions free-free

$$\kappa_{ff} \cong 3.68 \cdot 10^{21} (X + Y) (1 + X) \rho T^{-3.5} \text{ m}^2/\text{kg}$$

Diffusion électronique

$$\kappa_{es} \cong 0.02 (1 + X) \text{ m}^2/\text{kg}$$

Dans les 3
derniers cas :

$$\kappa \propto \text{nbr. } e^-/\text{m}^3 \propto 1+X$$

Conduction électronique

Si le gaz des électrons est
fortement **dégénéré**, voire relativiste ($\rho \uparrow, T \downarrow$)



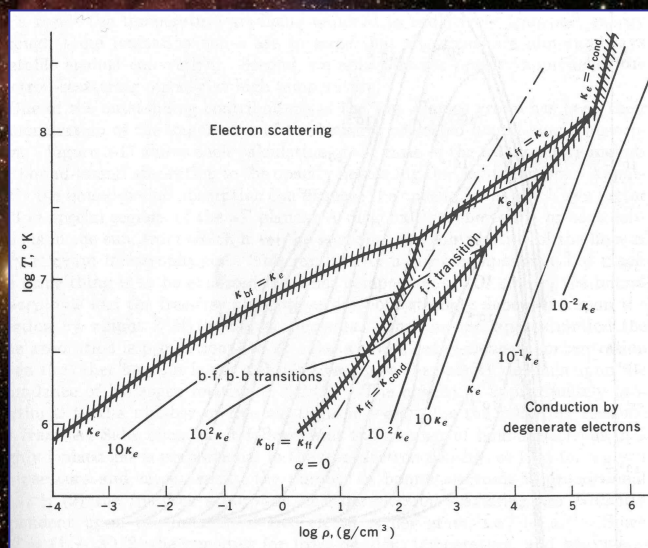
Energie cinétique des électrons très élevée



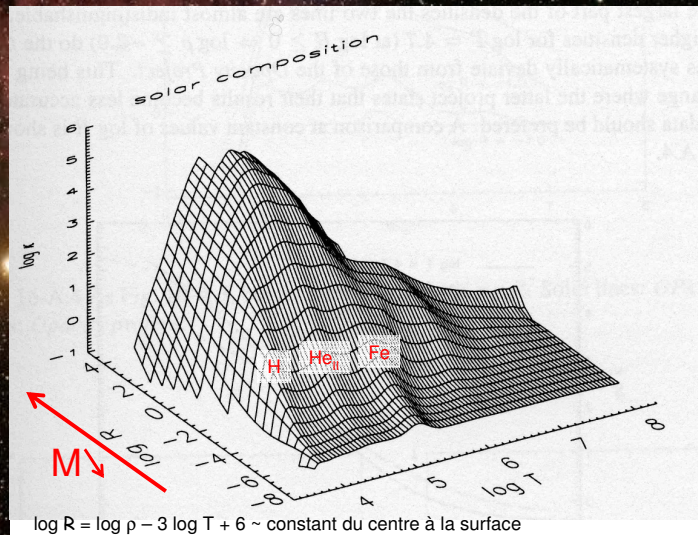
Ils transportent efficacement l'énergie par **conduction**

« Comme si l'opacité était encore plus faible »

Opacité



Opacité



Quelques modèles « stellaires » simples

Modèle à densité constante

$$P(r) = \int_r^R \frac{Gm\rho}{r^2} dr \quad m(r) = \frac{4\pi}{3} r^3 \rho = M \frac{r^3}{R^3} \quad \rho = \frac{3M}{4\pi R^3}$$

$$= \frac{3GM^2}{8\pi R^6} (R^2 - r^2)$$

$$T(r) = \frac{P \mu m_u}{\rho k} = \frac{GM \mu m_u}{R^3 2k} (R^2 - r^2)$$

$$\frac{T}{P} = \frac{1 \mu m_u}{\rho k} = \text{cst.} \rightarrow \frac{d \ln T}{d \ln P} = 1 \gg 2/5$$

Hyper instable vis-à-vis de la convection !

Un tel modèle n'est pas réaliste, la densité doit augmenter vers le centre pour que $d \ln T / d \ln P \simeq 1 - d \ln \rho / d \ln P$ soit suffisamment petit.

Quelques modèles « stellaires » simples

Résultats exercices

Exercice 1, homogène $X = 0.7, Y = 0.3$ Exercice 2, homogène $Y = 1$

$$\mu = 0.61538$$

$$R = 327\,500 \text{ km}$$

$$\mu = 4/3$$

$$R = 709\,600 \text{ km}$$

Exercice 3, cœur (10% de la masse): $Y = 1$, enveloppe $X = 0.7, Y = 0.3$

$$R/R_1 = 2.737$$

$$R_1 = 191\,000 \text{ km}$$

$$R_{\text{tot}} = 524\,000 \text{ km}$$

Quelques modèles « stellaires » simples

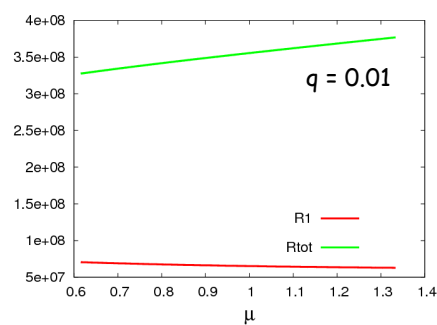
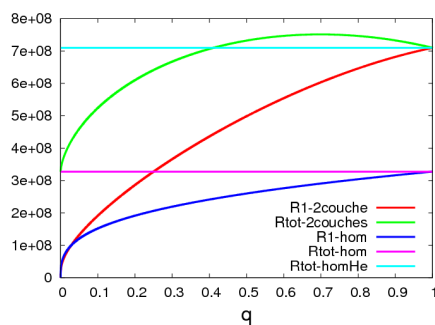
Résultats exercices

Exercice 3, cœur (10% de la masse): $Y = 1$, enveloppe $X = 0.7, Y = 0.3$

$$R/R_1 = 2.737$$

$$R_1 = 191\,000 \text{ km}$$

$$R_{\text{tot}} = 524\,000 \text{ km}$$



Modèles de polytropes

Gaz dégénéré non-relativiste : $P = K_1 \rho^{5/3}$

Gaz dégénéré relativiste : $P = K_1 \rho^{4/3}$

Polytrophe quelconque : $P = K \rho^\gamma = K \rho^{1+1/n}$

Equilibre
hydrostatique

$$\frac{dP}{dr} = -\rho g = -\rho \frac{d\phi}{dr}$$

$$\begin{aligned} \frac{d\phi}{dr} &= -K \gamma \rho^{\gamma-2} \frac{d\rho}{dr} \\ &= -K \frac{\gamma}{\gamma-1} \frac{d\rho^{\gamma-1}}{dr} \end{aligned}$$

$$\phi = -K \frac{\gamma}{\gamma-1} \rho^{\gamma-1} = -K(n+1) \rho^{1/n}$$

$$\rho = \left[\frac{-\phi}{K(n+1)} \right]^n$$

Equation
de Poisson

$$\frac{1}{r^2} \frac{d}{dr} \left(r^2 \frac{d\phi}{dr} \right) = 4\pi G \rho = 4\pi G \left[\frac{-\phi}{K(n+1)} \right]^n$$

Modèles de polytropes

Poisson
$$\frac{1}{r^2} \frac{d}{dr} \left(r^2 \frac{d\phi}{dr} \right) = 4\pi G \rho = 4\pi G \left[\frac{-\phi}{K(n+1)} \right]^n$$

Changement de variables
et adimensionalisation

$$\begin{aligned} z &= Ar \quad , \quad w = \frac{\phi}{\phi_c} = \left(\frac{\rho}{\rho_c} \right)^{1/n} \\ A^2 &= \frac{4\pi G}{(n+1)^n K^n} (-\phi_c)^{n-1} = \frac{4\pi G}{(n+1)K} \rho_c^{\frac{n-1}{n}} \end{aligned}$$

Equation de
Lane-Emden

$$\frac{1}{z^2} \frac{d}{dz} \left(z^2 \frac{dw}{dz} \right) + w^n = 0$$

$$w(0) = 1 \quad , \quad w'(0) = 0$$

Modèles de polytropes

Equation de Lane-Emden

$$\frac{1}{z^2} \frac{d}{dz} \left(z^2 \frac{dw}{dz} \right) + w^n = 0 \quad w = \frac{\phi}{\phi_c} = \left(\frac{\rho}{\rho_c} \right)^{1/n}$$

Cas avec solution analytique :

$$n = 0 \text{ (}\rho \text{ cst.) : } w(z) = 1 - z^2/6$$

$$n = 1 \text{ (}\gamma = 2\text{) : } w(z) = \sin z/z$$

$$n = 5 \text{ (}\gamma = 6/5\text{) : } w(z) = (1 + z^2/3)^{-1/2}$$

$n < 5$ ($\gamma > 6/5$) \rightarrow Rayon fini, $n \geq 5$ \rightarrow Rayon infini

Autres cas particuliers importants :

$n = 3/2$ ($\gamma = 5/3$, dégénéré non-relativiste)

$n = 3$ ($\gamma = 4/3$, dégénéré relativiste)

$n = \infty$ ($\gamma = 1$, sphère isotherme, rayon infini)

Modèles de polytropes

Hiérarchie des polytropes :

$n = 0$: densité constante, $d \ln T / d \ln P = 1$ (convectivement instable)



$n = 3/2$ ($\gamma = 5/3$) : dégénéré non-relativiste ou zone convective



$n = 3$ ($\gamma = 4/3$) : dégénéré relativiste ou pression de radiation \nearrow

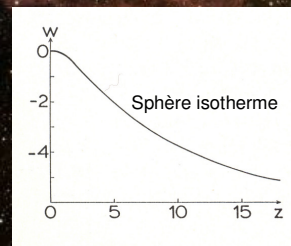
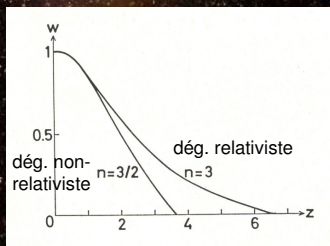


$n = 3.25$: \sim enveloppe radiative



$n = 5$ ($\gamma = 6/5$) : Limite rayon fini \longleftrightarrow infini

$n = \infty$ ($\gamma = 1$) : sphère isotherme, rayon infini



Un modèle simple d'enveloppe radiative

Hypothèses:

$$L = -\frac{16\pi r^2 a c T^3}{3\kappa\rho} \frac{\partial T}{\partial r}$$

- Enveloppe radiative : $\frac{dT}{dP} = \frac{3\kappa L}{64\pi\sigma G T^3 m}$

- Opacités : $\kappa = \kappa_0 P^a T^b$ Kramers : $a = 1, b = -4.5$

- L, m constants ($\epsilon = 0, \rho$ petit)

$$\frac{dT}{dP} \propto T^{b-3} P^a \frac{L}{m} \quad \frac{d(T^{4-b})}{d(P^{a+1})} \propto \frac{L}{M} = \text{cste.}$$

$$T^{4-b} = B \frac{L}{M} (P^{a+1} + C)$$

$$T^{8.5} = B \frac{L}{M} (P^2 + C) \simeq B P^2 L/M \propto \rho^2 T^2 L/M$$

$$T^{3.25} \simeq C_0 \sqrt{L/M} \rho \quad P \simeq C_1 (L/M)^{\frac{1}{6.5}} \rho^{1+\frac{1}{3.25}} \quad \text{Polytrophe } n = 3.25$$

Modèles de polytropes

Masse

$$\frac{\rho}{\rho_c} = \left(\frac{\phi}{\phi_c}\right)^n = w^n$$

$$m(r) = \int_0^r 4\pi r^2 \rho dr = 4\pi \frac{r^3}{3} \rho_c \int_0^z w^n z^2 dz = -4\pi r^3 \rho_c \frac{1}{z} \frac{dw}{dz}$$

$$R = \frac{z_n}{A} = z_n \left[\frac{(n+1)K}{4\pi G} \right]^{1/2} \rho_c^{\frac{1-n}{2n}}$$

$$A^2 = \frac{4\pi G}{(n+1)K} \rho_c^{\frac{n-1}{n}}$$

$$M = -4\pi \left[\frac{(n+1)K}{4\pi G} \right]^{3/2} z_n^2 \frac{dw}{dz}(z_n) \rho_c^{\frac{3-n}{2n}}$$

$$R \propto \rho_c^{\frac{1-n}{2n}} \propto M^{\frac{1-n}{3-n}}$$

Relation masse-rayon
pour les polytropes

Polytropes : gaz dégénéré, naines blanches

Relation Rayon - Masse
des polytropes (K fixé !)

$$R \propto M^{\frac{1-n}{3-n}}$$

$$0 \leq n < 1 : M \nearrow \rightarrow R \nearrow$$

$$1 < n < 3 : M \nearrow \rightarrow R \searrow$$

J'augmente la masse d'un facteur constant q en gardant le même rayon

$$m(r) \longrightarrow m'(r) = q m(r)$$

$$\rho(r) \longrightarrow \rho'(r) = q \rho(r)$$

$$P(r) \longrightarrow P'(r) = K (\rho')^{1+1/n} = q^{1+1/n} P(r)$$

$$\text{Poids}(r) = \int_r^R G m \rho / r^2 dr \longrightarrow \text{Poids}'(r) = q^2 \text{Poids}(r)$$

$$n < 1 \rightarrow P'(r) > \text{Poid}'(r)$$

La pression augmente plus que le poids \rightarrow dilatation

$$n > 1 \rightarrow P'(r) < \text{Poid}'(r)$$

La pression augmente moins que le poids \rightarrow contraction

Polytropes : gaz dégénéré, naines blanches

Relation Rayon - Masse
des polytropes (K fixé)

$$R \propto M^{\frac{1-n}{3-n}}$$

Gaz dégénéré non-relativiste, $n = 3/2$:

$$R \propto M^{-1/3}$$

Quand la dégénérescence devient complète non-relativiste:

$R \sim \text{constant}$: Refroidissement à rayon constant des naines blanches

Gaz dégénéré relativiste, $n = 3$:

$M = \text{Constante} !$

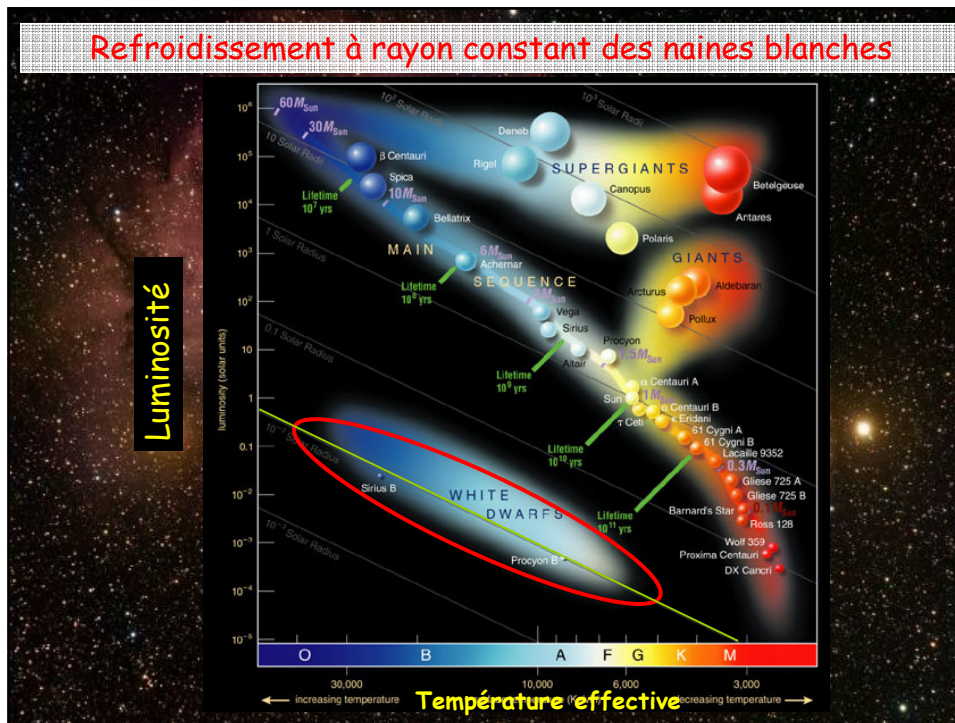
$$M = -4\pi \left[\frac{K}{\pi G} \right]^{3/2} z_3^2 \frac{dw}{dz}(z_3)$$

$$= \left(\frac{2}{\mu_e} \right)^2 1.459 M_\odot$$

$$K = \frac{1.2435 \times 10^{15}}{\mu_e^{4/3}} \quad (\text{cgs})$$

Masse limite de Chandrasekhar

Refroidissement à rayon constant des naines blanches



Luminosité

← increasing temperature **Température effective** decreasing temperature →

Polytropes : gaz dégénéré relativiste

Masse limite de Chandrasekhar

$$M_{ch} = \left(\frac{2}{\mu_e}\right)^2 1.459 M_{\odot}$$

$$R \propto \rho_c^{\frac{1-n}{2n}} \propto \rho_c^{-1/3}$$

$$M \propto \rho_c R^3 = cste.$$

M est fixe, R vaut ce qu'on veut !

Je multiplie par un facteur \times constant la distance au centre de chaque couche :

- $r(m)$ \longrightarrow $r'(m) = \times r(m)$
- $\rho(m)$ \longrightarrow $\rho'(m) = \rho(m)/\times^3$
- $P(m)$ \longrightarrow $P'(m) = K (\rho')^{4/3} = K \rho^{4/3}/\times^4 = P(m)/\times^4$
- Poids(m) \longrightarrow Poids'(m) = Poids(m)/ \times^4

$P(m) = \text{Poids}(m) \longrightarrow P'(m) = \text{Poid}'(m)$

On garde une solution quel que soit le facteur de dilatation \times

Polytropes : gaz dégénéré relativiste

Masse limite de Chandrasekhar

Que se passe-t-il si $M > M_{ch}$?

$$M_{ch} = \left(\frac{2}{\mu_e}\right)^2 1.459 M_{\odot}$$

$P(m) < \text{Poids}(m)$ \longrightarrow contraction

$$r(m) \longrightarrow r'(m) = x r(m)$$

$$\rho(m) \longrightarrow \rho'(m) = \rho(m)/x^3$$

$$P(m) \longrightarrow P'(m) = P(m)/x^4$$

$$\text{Poids}(m) \longrightarrow \text{Poids}'(m) = \text{Poids}(m)/x^4$$

$P'(m) < \text{Poids}'(m)$ \longrightarrow L'effondrement continue

On n'a jamais de solution

Critère de stabilité dynamique

Considérons un modèle d'étoile tout à fait général à l'équilibre hydrostatique

Pas besoin d'être un polytrophe

Au départ : $P(m) = \text{Poids}(m)$

Contraction homologue adiabatique du gaz $\longrightarrow P'/P = (\rho'/\rho)^{\Gamma_1}$

$$r(m) \longrightarrow r'(m) = x r(m)$$

$$\rho(m) \longrightarrow \rho'(m) = \rho(m)/x^3$$

$$P(m) \longrightarrow P'(m) = P(m) (\rho'/\rho)^{\Gamma_1} = P(m)/x^{3\Gamma_1}$$

$$\text{Poids}(m) \longrightarrow \text{Poids}'(m) = \text{Poids}(m)/x^4$$

$$\Gamma_1 \equiv \left. \frac{\partial \ln P'}{\partial \ln \rho} \right|_S$$

Si $\Gamma_1 > 4/3$ ($x \ll 1$),
 $P'(m) > \text{Poids}'(m)$,
 l'étoile revient à l'équilibre :
 Dynamiquement **STABLE**

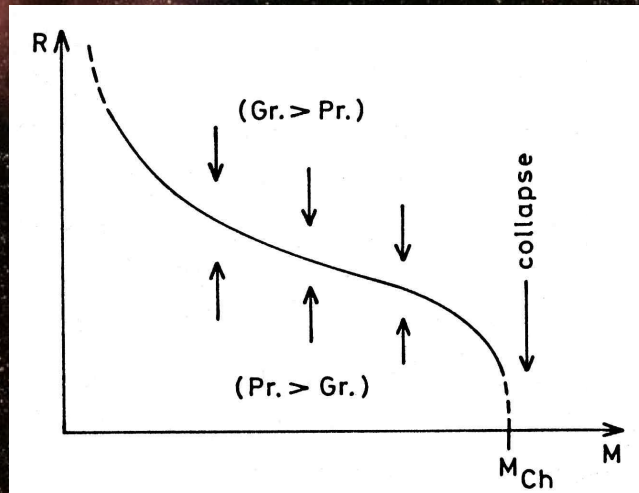
Si $\Gamma_1 < 4/3$ ($x \ll 1$),
 $P'(m) < \text{Poids}'(m)$,
 l'étoile s'effondre :
 Dynamiquement **INSTABLE**

Polytropes : gaz dégénéré relativiste

Masse limite de Chandrasekhar

$$M_{ch} = \left(\frac{2}{\mu_e}\right)^2 1.459 M_{\odot}$$

La loi
Masse - Rayon



Que se passe-t-il quand la masse de Chandrasekhar est atteinte ?

1^{er} scénario (le plus fréquent): Une naine blanche de C-O dans un système binaire accrete lentement de la matière de son compagnon géante rouge

2^e scénario : Pendant les combustions d'H et He en couche, le coeur de C-O croît en masse

Le coeur de C-O atteint la masse de Chandrasekhar !

L'étoile se contracte jusqu'à des densités extrêmes

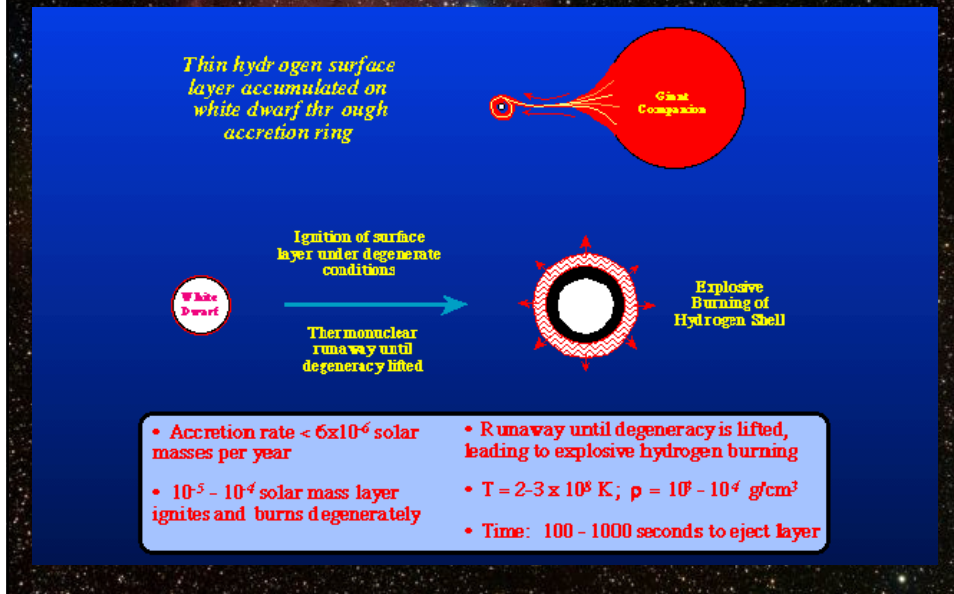
Réactions nucléaires dans milieu dégénéré → emballement thermique

→ l'étoile entière s'embrase en quelques secondes



L'étoile explose ! **Supernova de type Ia** $L \sim 10^{11} L_{\odot}$

Le Phénomène de Nova



Que se passe-t-il quand la masse de Chandrasekhar est atteinte ?

Etoiles très massives

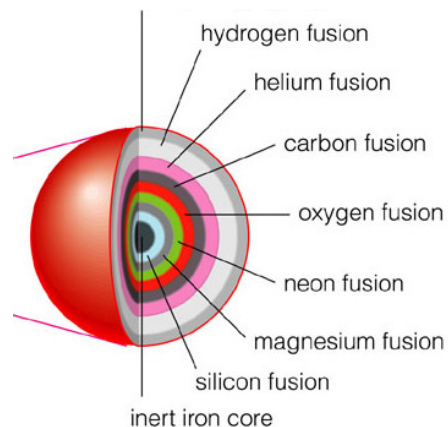
Scénario principal :

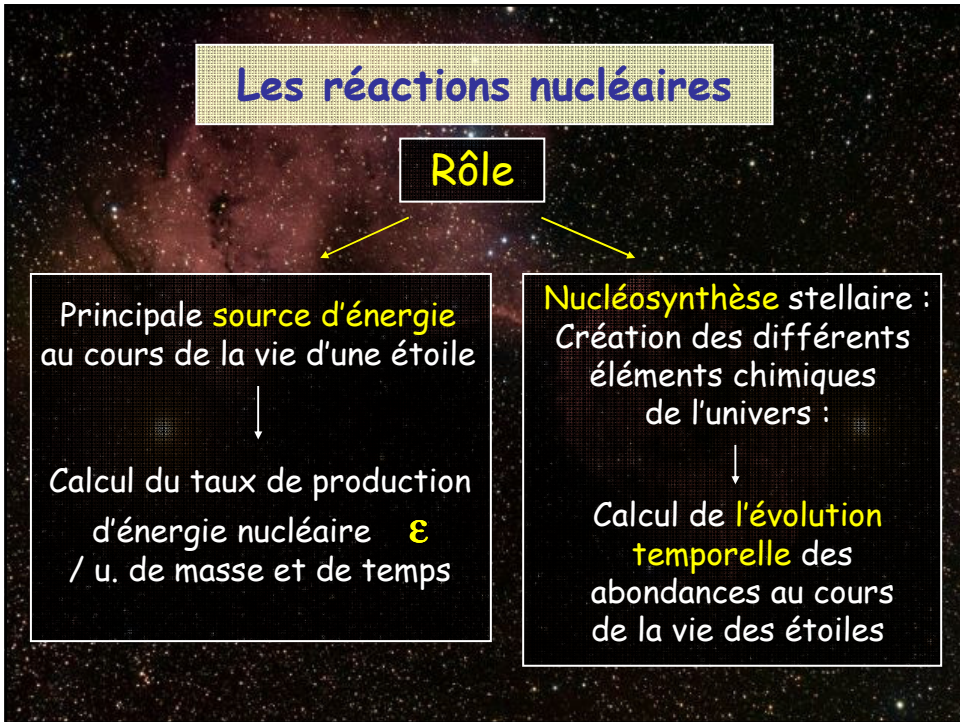
Fusion centrale du Si, contraction, fusion du Si en couche, contraction, ...
 ⇒ Le coeur de Fe se contracte, dégénère et croit en masse.

Quand $M_{Fe} \approx$ masse de Chandrasekhar
 ⇒ **collapse** jusqu'à ce que les noyaux se touchent ⇒ rebond, onde de choc

⇒ Explosion, **Supernova de type II**

Structure en pelure d'oignon





Les réactions nucléaires

$$A_{Z_A}^{A_A} + a_{Z_a}^{A_a} \rightarrow B_{Z_B}^{A_B} + b_{Z_b}^{A_b} + \dots$$

Lois de conservation

- Conservation du nombre de nucléons $A_A + A_a = A_B + A_b + \dots$
- Conservation des charges $Z_A + Z_a = Z_B + Z_b + \dots$
- Quantité de mouvement (Problème à 2 corps, non-relativiste)

Masse réduite

$$m_1(v_1 - V) = -m_2(v_2 - V)$$

$$= \frac{m_1 m_2}{m_1 + m_2} (v_1 - v_2) = m_\mu v$$

Eq. de mouvement de la "particule relative" dans un potentiel fixe :

Classique (Newton):

$m_\mu \frac{dv}{dt} = -\nabla V(r) \quad (r = r_1 - r_2)$

Quantique (Schroedinger):

$i\hbar \frac{\partial \psi}{\partial t} = -\frac{\hbar^2}{2m_\mu} \nabla^2 \psi + V \psi$

Les réactions nucléaires

Lois de conservation

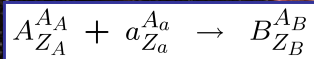
• Moment cinétique total

$$J = \sum L + \sum S = \text{Cst.}$$

Moments ang. orb. Spins

• Nombre leptonique

• Energie



Chaleur fournie
par la réaction

$$Q = (M_A + M_a - M_B)c^2$$

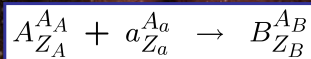
Excès de "masse"
= - énergie de liaison

$$\Delta M_a = (M_a - A_a m_u)c^2 = 931.478 (M_a/m_u - A_a) \text{ Mev}$$

Energie de liaison par nucléon $f_a = -\Delta M_a / A_a$

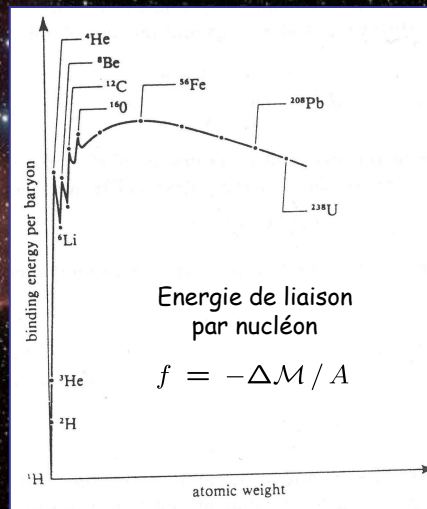
$$Q = \Delta M_A + \Delta M_a - \Delta M_B = A_B \left[f_B - \left(\frac{A_A}{A_B} f_A + \frac{A_a}{A_B} f_a \right) \right]$$

• Energie



Chaleur fournie
par la réaction:

$$Q = (M_A + M_a - M_B)c^2$$



$$Q = \Delta M_A + \Delta M_a - \Delta M_B = A_B \left[f_B - \left(\frac{A_A}{A_B} f_A + \frac{A_a}{A_B} f_a \right) \right]$$

Les réactions nucléaires



$$r_v = \sigma(v) v N_A N_a$$

Taux de réaction
= nbre de réactions
/ u. de temps
et de volume

Section
efficace

Vitesse
relative

Nbre de couples
de particules
/ u. de volume²

Distribution de vitesses \longrightarrow $r = \langle \sigma(v) v \rangle N_A N_a$

Taux de production d'énergie
 ϵ = énergie produite
/ u. de temps et de masse

$$c_k = \frac{Q_k}{M_A M_a} \rho X_A X_a \langle \sigma v \rangle_k$$

Sommer sur toutes les réactions

Les réactions nucléaires

$$r = \langle \sigma(v) v \rangle N_A N_a$$

$$\langle \sigma(v) v \rangle = \int_0^\infty \sigma(E) v(E) f(E) dE$$

Energie cinétique
totale dans le repère
du centre de masse :

$$E = \frac{1}{2} \frac{m_A m_a}{m_A + m_a} v^2$$

$$= \frac{1}{2} m_\mu v^2$$

Distribution statistique des
énergies cinétiques E :
(Boltzmann, Fermi-Dirac, ...)

$$f(E) = \frac{2}{\sqrt{\pi}} \frac{E^{1/2}}{(kT)^{3/2}} e^{-E/kT}$$

Toute la difficulté du
problème se ramène au calcul
de la section efficace $\sigma(E)$

Les réactions nucléaires

Détermination de la section efficace $\sigma(E)$

Différents facteurs interviennent

1) Facteur géométrique P_λ

Extension quantique du noyau :

$$P_\lambda = \lambda^2 / (4\pi) = (h / (m_\mu v))^2 / (4\pi) \sim 1/E$$

De Broglie

C'est la section efficace maximale, ds l'exp. de diffusion quantique, moment cin. orb. nul ($l=0$)

2) Facteur de Gamov P_G

Franchissement de la barrière coulombienne

Les réactions nucléaires

Détermination de la section efficace $\sigma(E)$

2) Facteur de Gamov P_G

La barrière coulombienne

$$E_{Cb} = \frac{Z_A Z_a e^2}{r_0} \simeq Z_A Z_a \text{ Mev}$$

r_0 : rayon nucléaire

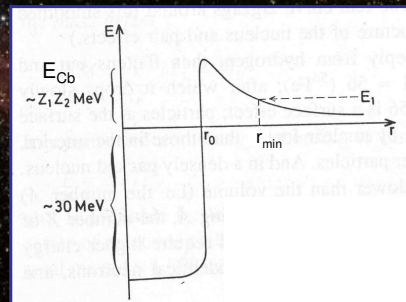
$$\langle E_{Cin} \rangle = \frac{3}{2} kT \simeq 1 \text{ kev}$$

pour $T \sim 10^7 \text{ K}$

→ Plus de 1000 × trop petit

→ Facteur e^{-1000} dans Max-Boltz !

→ Tout à fait impossible



Les réactions nucléaires

Détermination de la section efficace $\sigma(E)$

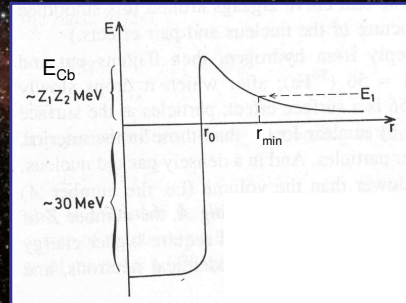
2) Facteur de Gamov P_G

La barrière coulombienne

Heureusement ...

Des noyaux peuvent franchir
la barrière de potentiel par

l'Effet tunnel



Les réactions nucléaires

Détermination de la section efficace $\sigma(E)$

2) Facteur de Gamov P_G

L'Effet tunnel

Barrière carrée

Eq. Schroedinger :
$$\frac{\hbar^2}{2m_\mu} \frac{d^2\psi}{dr^2} + (E - V)\psi = 0$$

Fonction d'onde:
$$\psi(r) \propto \exp(-kr) \quad k = (1/\hbar)\sqrt{2m_\mu(V - E)}$$

Probabilité de franchissement de la barrière :
$$= \exp(-2k\Delta r)$$

Les réactions nucléaires

Détermination de la section efficace $\sigma(E)$

2) Facteur de Gamov P_G

L'Effet tunnel

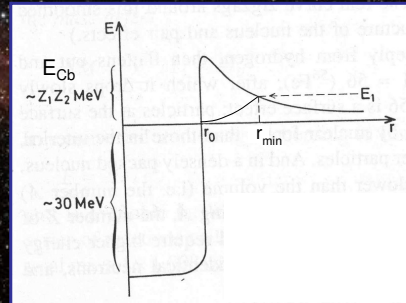
Potentiel coulombien
 Probabilité de franchissement de la barrière (approximation WKB) :

$$P_G \simeq \exp\left(-2 \int_{r_0}^{r_{min}} k dr\right)$$

$$\simeq \exp\left(-(\pi/\hbar)\sqrt{2m_\mu E} r_{min}\right)$$

$$= \exp(-2\pi^2 r_{min}/\lambda)$$

$$\lambda = h/(m_\mu v)$$



$$k(r) = (1/\hbar)\sqrt{2m_\mu(E_{Cb}(r_0/r) - E)}$$

$$E \ll E_{Cb}$$

$$E = \frac{1}{2}m_\mu v^2 = \frac{h^2}{2m_\mu \lambda^2}$$

Les réactions nucléaires

Détermination de la section efficace $\sigma(E)$

2) Facteur de Gamov P_G

L'Effet tunnel

Probabilité de franchissement de la barrière :

$$P_G \simeq \exp(-2\pi^2 r_{min}/\lambda)$$

$$\lambda = h/(m_\mu v)$$

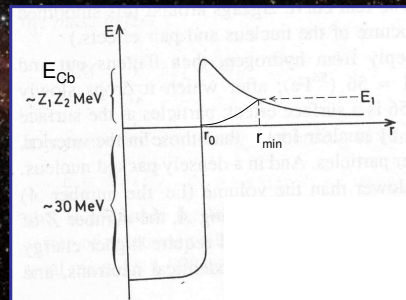
$$\frac{Z_A Z_a e^2}{r_{min}} = \frac{1}{2}m_\mu v^2 \Rightarrow r_{min} = \frac{2Z_A Z_a e^2}{m_\mu v^2}$$

$$A_\mu = \frac{A_A A_a}{A_A + A_a}$$

$$P_G \approx \exp(-2\pi Z_A Z_a e^2 / (\hbar v))$$

$$= \exp(-b E^{-1/2})$$

$$b = 31.29 Z_A Z_a A_\mu^{1/2} (\text{keV})^{1/2}$$



Les réactions nucléaires

Détermination de la section efficace $\sigma(E)$

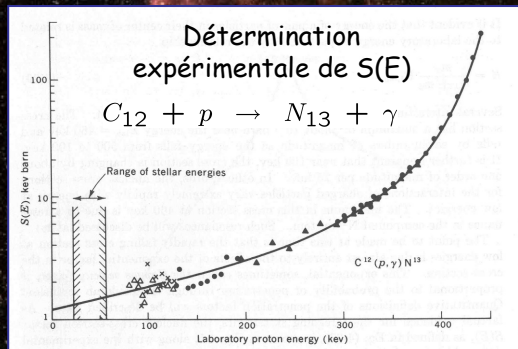
3) Facteur nucléaire $S(E)$

$$\sigma(E) = (1/E) P_G(E) S(E)$$

Propriétés nucléaires du noyau $A + a$,
interaction forte
(et parfois faible)

$S(E)$ varie
lentement avec E

Sauf tout près
d'une résonance



Les réactions nucléaires

Détermination de la section efficace $\sigma(E)$

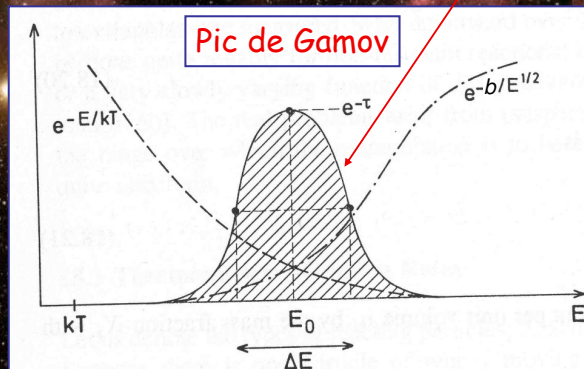
$$\sigma(E) = (1/E) P_G S(E) = \frac{S(E)}{E} \exp(-b E^{-1/2})$$

$$\begin{aligned} \langle \sigma v \rangle &= \int_0^\infty \sigma(E) v(E) f(E) dE \\ &= \int_0^\infty \frac{S(E)}{E} \exp(-b E^{-1/2}) \sqrt{\frac{2E}{m\mu}} \frac{2}{\sqrt{\pi}} \frac{E}{kT} \exp\left(-\frac{E}{kT}\right) \frac{dE}{(kTE)^{3/2}} \\ &= \left(\frac{8}{m\mu\pi}\right)^{1/2} \frac{1}{(kT)^{3/2}} \int_0^\infty S(E) \exp\left(-\frac{E}{kT} - b E^{-1/2}\right) dE \end{aligned}$$

Les réactions nucléaires

Détermination de la section efficace $\sigma(E)$

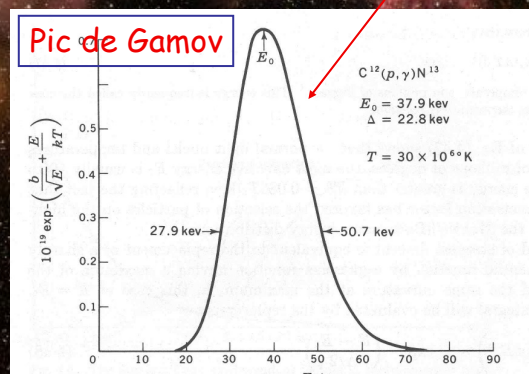
$$\langle \sigma v \rangle = \left(\frac{8}{\pi \mu \pi} \right)^{\frac{1}{2}} \frac{1}{(kT)^{\frac{3}{2}}} \int_0^{\infty} S(E) \exp\left(-\frac{E}{kT} - bE^{-\frac{1}{2}}\right) dE$$



Les réactions nucléaires

Détermination de la section efficace $\sigma(E)$

$$\langle \sigma v \rangle = \left(\frac{8}{\pi \mu \pi} \right)^{\frac{1}{2}} \frac{1}{(kT)^{\frac{3}{2}}} \int_0^{\infty} S(E) \exp\left(-\frac{E}{kT} - bE^{-\frac{1}{2}}\right) dE$$



Les réactions nucléaires

$$\langle \sigma v \rangle = \left(\frac{8}{\mu\pi} \right)^{1/2} \frac{S_0}{(kT)^{3/2}} \int_0^\infty \exp\left(-\frac{E}{kT} - \frac{b}{\sqrt{E}}\right) dE$$

Approx. par une gaussienne

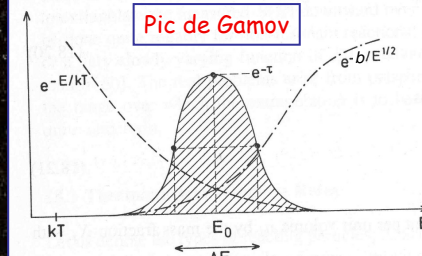
$$\begin{aligned} \exp\left(-\frac{E}{kT} - \frac{b}{\sqrt{E}}\right) &= \exp(-f(E)) \\ &\approx \exp(-f(E_0)) \exp\left(-\left(\frac{E-E_0}{\Delta E/2}\right)^2\right) \end{aligned}$$

$$\begin{aligned} \langle \sigma v \rangle &\propto T^{-3/2} \Delta E e^{-f(E_0)} \\ &\propto T^{-3/2} T^{5/6} e^{-\tau} \\ &\propto \tau^2 e^{-\tau} \end{aligned}$$

$$f'(E_0) = 0 \Rightarrow E_0 = \left(\frac{bkT}{2}\right)^{2/3}$$

$$\tau = f(E_0) = 3E_0/(kT) \propto T^{-1/3}$$

$$\Delta E = \sqrt{8/f''} = 4\sqrt{E_0 kT/3} \propto T^{5/6}$$



Les réactions nucléaires

$$\langle \sigma v \rangle \propto \tau^2 e^{-\tau}$$

$$T_7 = T(\text{K})/10^7$$

$$W = Z_j^2 Z_k^2 A = Z_j^2 Z_k^2 \frac{A_j A_k}{A_j + A_k}$$

$$\tau = 19.721 W^{1/3} T_7^{-1/3}$$

$$E_0 = 5.665 \text{ keV} \cdot W^{1/3} T_7^{2/3}$$

$$\frac{E_0}{kT} = \frac{\tau}{3} = 6.574 W^{1/3} T_7^{-1/3}$$

$$\Delta E = 4.249 \text{ keV} \cdot W^{1/6} T_7^{5/6}$$

$$\begin{aligned} \nu &= \frac{\partial \ln \langle \sigma v \rangle}{\partial \ln T} = \frac{\tau}{3} - \frac{2}{3} \\ &\simeq 6.574 W^{1/3} T_7^{-1/3} \end{aligned}$$

Noyaux légers :

$$\nu \sim 6 \quad (\langle \sigma v \rangle \propto T^6)$$

Noyaux plus lourds :

$$\nu \sim 20-30 \quad !! \quad (\langle \sigma v \rangle \propto T^{30})$$



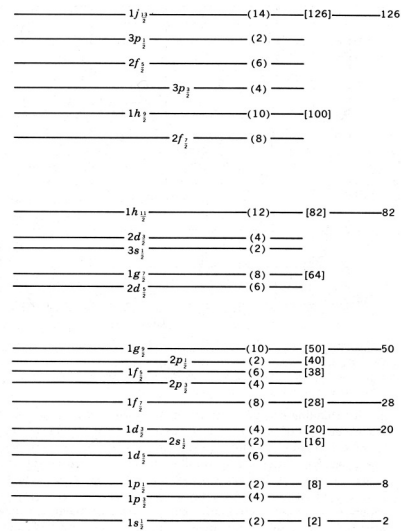
Extrêmement sensible
à la température !!

Les réactions nucléaires

Réactions résonnantes

Les noyaux ont des niveaux discrets d'énergie ~ atomes

Approx. en couches (shell-model) :
Chaque nucléon est plongé dans le potentiel fixe créé par les autres



Les réactions nucléaires

Réactions résonnantes

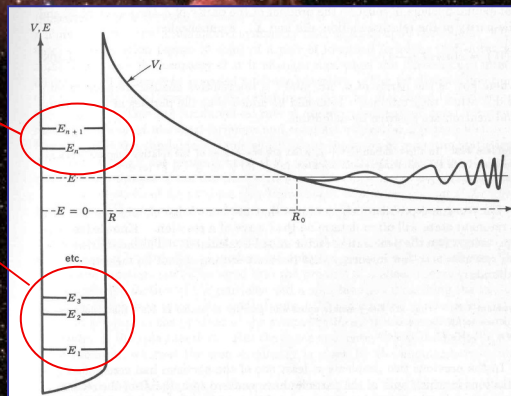
Les noyaux ont des niveaux discrets d'énergie ~ atomes

Niveaux quasi-stationnaires

Niveaux stationnaires

Si E proche de E_n

↓
Réaction résonnante



Les réactions nucléaires

$$\Gamma = \hbar/\tau$$

Réactions résonantes

S(E) non-constant → Ne pas le sortir de l'intégrale

$$\langle \sigma v \rangle \propto e^{-E_{res}/(kT)}$$

Encore plus sensible à la température
ex : réaction 3α : $\epsilon \sim T^{40}$!!!

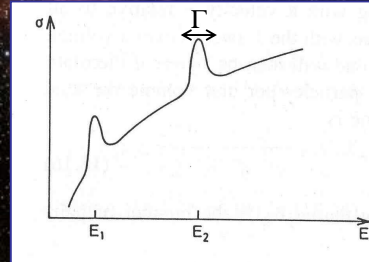
σ non-négligeable pour les particules arrivant avec moment cinétique non-nul

→ Ajouter le potentiel "centrifuge" :
$$V(r) = \frac{Z_A Z_a e^2}{r} + \frac{\ell(\ell+1)\hbar^2}{2m_\mu r^2}$$

Pour $E \sim E_{res}$, $\sigma \sim \sigma_{max} = (2l+1) \lambda^2 / (4\pi) = (2l+1) \pi (\hbar/(m_\mu v))^2$

Autour de la résonance :

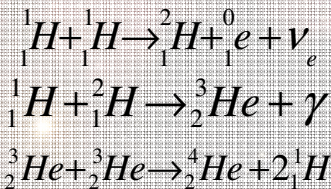
$$\sigma(E) \propto \frac{1}{(E - E_{res})^2 + (\Gamma/2)^2}$$



Combustion de l'hydrogène

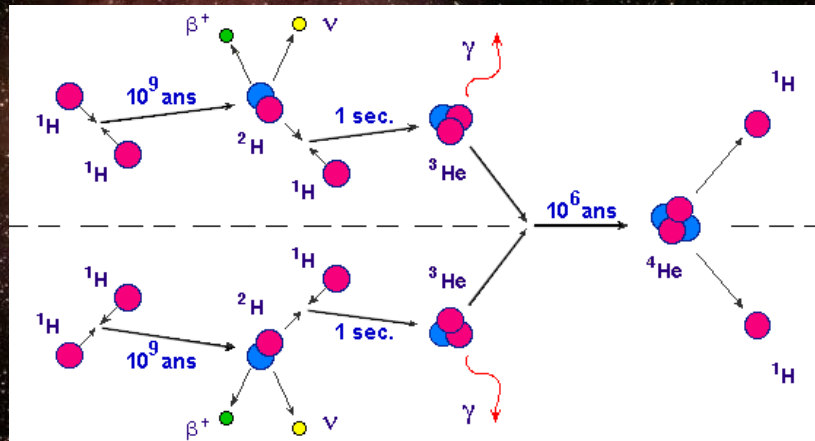
1. Chaîne proton-proton ($T > 10^7$ K)

PPI



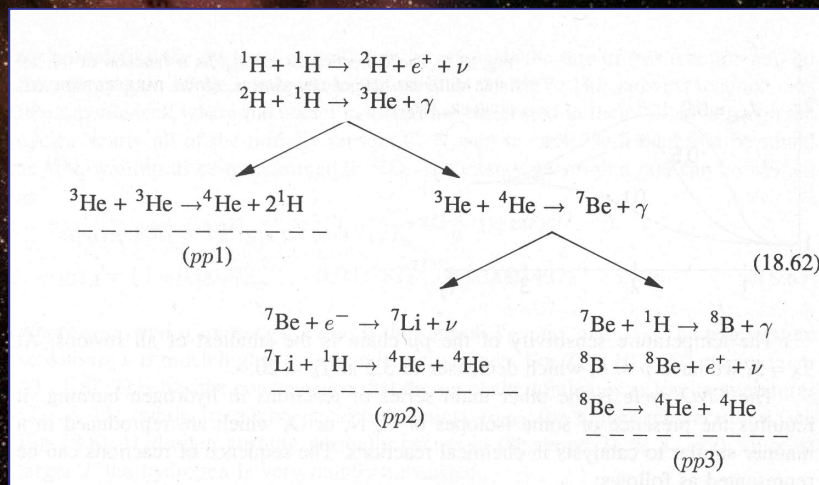
$$\begin{aligned} Q_{glob} &= 4\Delta\mathcal{M}_H - \Delta\mathcal{M}_{\text{He}^4} \\ &= 26.73 \text{ Mev} \end{aligned}$$

Chaîne proton-proton



Combustion de l'hydrogène

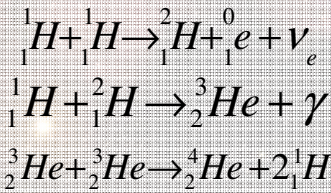
1. Chaîne proton-proton ($T > 10^7$ K)



Combustion de l'hydrogène

1. Chaîne proton-proton ($T > 10^7$ K)

PPI



$$\begin{aligned}
 Q_{glob} &= 4\Delta\mathcal{M}_H - \Delta\mathcal{M}_{\text{He}^4} \\
 &= 26.73 \text{ Mev}
 \end{aligned}$$

Mais :

- Pertes par les neutrinos !
- Hors équilibre !

$$\epsilon \neq \frac{Q_{glob}}{m_u^2} \rho X^2 \langle \sigma v \rangle_{pp}$$

$$\epsilon = \sum_k \frac{Q_k - Q_{\nu,k}}{M_{1,k} M_{2,k}} \rho X_{1,k} X_{2,k} \langle \sigma v \rangle_k$$

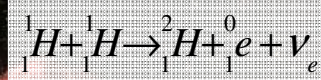
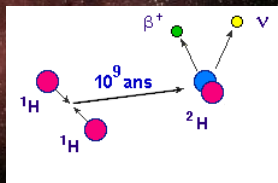
Somme sur les réactions

Energie du neutrino

Combustion de l'hydrogène

1. Chaîne proton-proton ($T > 10^7$ K)

Réaction p-p



Franchissement de la barrière coulombienne suivi immédiatement de $p \rightarrow n + e^+ + \nu$ (interaction faible)

Changement de spin du proton transformé en neutron

Transition faible de Gamow-Teller

Probabilité très faible car mauvais recouvrement des fonctions d'onde ($\int \psi_f^* \psi_i dV$)

Temps de réaction très long : $\tau_H \sim 10^9$ ans



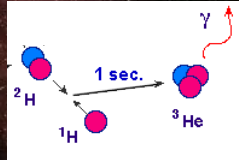
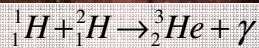
$E_{\text{neutrino}} \simeq 0.262 \text{ Mev}$ perdue

$$\begin{aligned}
 Q &= 2\Delta\mathcal{M}_H - \Delta\mathcal{M}_D - E_{\text{neutrino}} \\
 &= 1.442 - 0.262 = 1.180 \text{ Mev}
 \end{aligned}$$

Combustion de l'hydrogène

1. Chaîne proton-proton ($T > 10^7$ K)

Combustion du deutérium



Temps de réaction très court :
 $\tau_D \sim 1$ sec.

$$0 \simeq \frac{dD}{dt} = \langle \sigma v \rangle_{pp} \frac{H^2}{2} - \langle \sigma v \rangle_{pd} HD$$

$$\rightarrow \left(\frac{D}{H} \right)_{eq} = \frac{\langle \sigma v \rangle_{pp}}{2 \langle \sigma v \rangle_{pd}} = \frac{\tau_D}{2\tau_H} \approx 10^{-17}$$

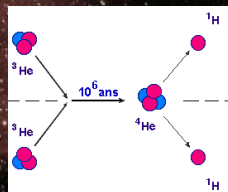
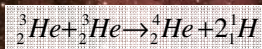
Sur terre :
 $D/H = 1.5 \times 10^{-4}$
(spallation)

Première phase de combustion du Deuterium initial, puis équilibre.

Combustion de l'hydrogène

1. Chaîne proton-proton ($T > 10^7$ K)

Combustion $\text{He}_3 + \text{He}_3$



Deuterium à l'équilibre

$$\frac{d\text{He}^3}{dt} = \langle \sigma v \rangle_{pp} \frac{H^2}{2} - \langle \sigma v \rangle_{33} (\text{He}^3)^2$$

Au début, réaction très lente !!

$$\left(\frac{\text{He}^3}{H} \right)_{eq} = \sqrt{\frac{\langle \sigma v \rangle_{pp}}{2 \langle \sigma v \rangle_{33}}}$$

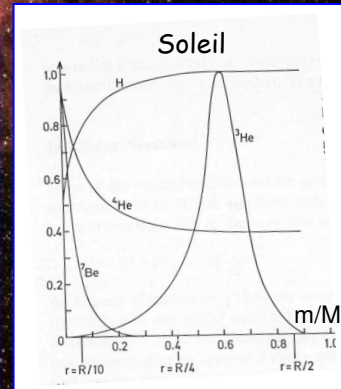
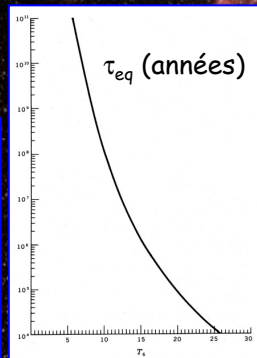
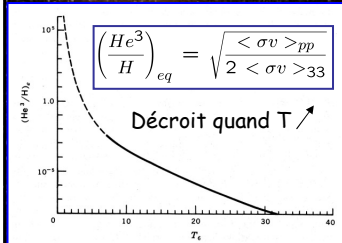
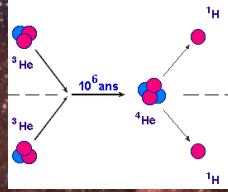
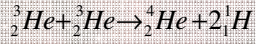
Décroit quand $T \nearrow$

Pour T trop petit, He^3 n'a jamais le temps d'atteindre sa valeur d'équilibre, donc bosse

Evolution de la composition chimique

1. Chaîne proton-proton

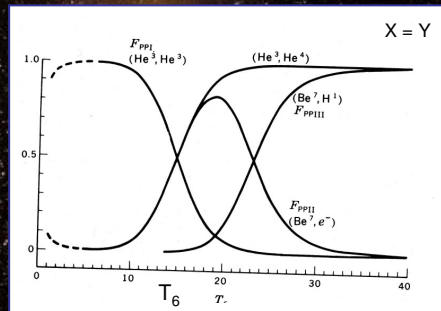
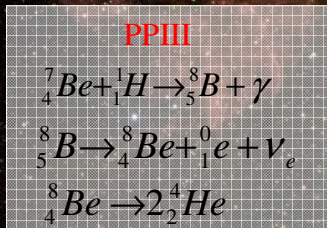
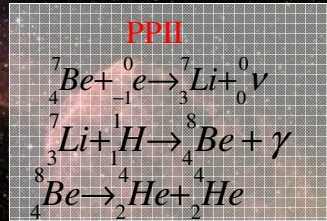
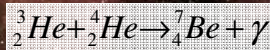
Combustion $He_3 + He_3$



Combustion de l'hydrogène

1. Chaîne proton-proton ($T > 10^7$ K)

Chaînes PPII et PPIII



Evolution de la composition chimique

1. Chaîne proton-proton

Problème du Lithium



$$T_{\text{Li}} \sim 2 \cdot 10^6 \text{ K}$$

L'abondance de Lithium à la surface du Soleil est 140 * plus petite que sa valeur initiale

L'étude d'amas jeunes (Hyades, ...) montre que l'abondance en surface diminue au cours du temps

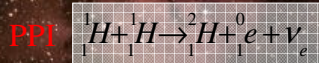


Mécanismes hydrodynamiques non-standards de transport des régions profondes vers la surface : diffusion, circulation méridienne, ondes internes, ...

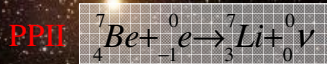
Combustion de l'hydrogène

1. Chaîne proton-proton ($T > 10^7 \text{ K}$)

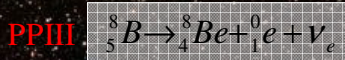
Différentes énergies perdues par les neutrinos :



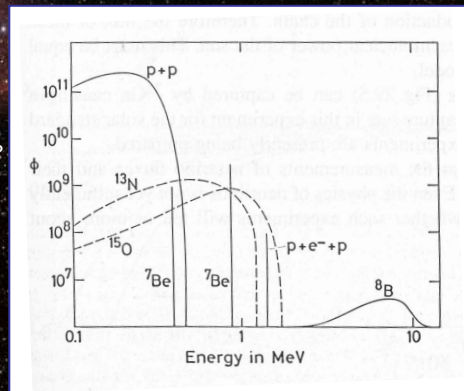
$$E_\nu = 0.263 \text{ MeV} \quad \text{Perte : } \frac{2 \times 0.263}{26.73} = 2 \%$$



$$E_\nu = 0.8 \text{ MeV} \quad \text{Perte : } \frac{0.263 + 0.8}{26.73} = 4 \%$$



$$E_\nu = 7.2 \text{ MeV} \quad \text{Perte : } \frac{0.263 + 7.2}{26.73} = 27.9 \%$$



Combustion de l'hydrogène

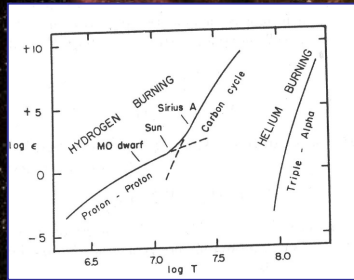
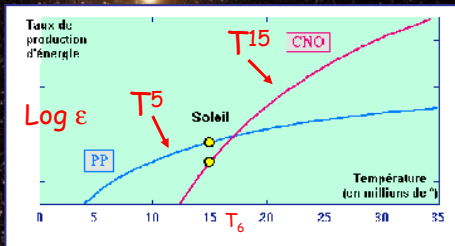
Cycle CNO versus chaîne P-P

$$\epsilon_{pp} \propto T^5 \quad \epsilon_{CNO} \propto T^{15}$$

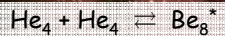
Le cycle CNO domine pour $T > 17 \times 10^6$ K
→ Étoiles massives

$$W = \frac{Z_j^2 Z_k^2 A}{Z_j^2 Z_k^2 \frac{A_j A_k}{A_j + A_k}}$$

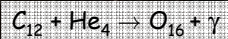
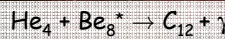
$$\nu = \frac{\partial \ln \langle \sigma v \rangle}{\partial \ln T} \approx 6.574 W^{1/3} T_7^{-1/3}$$



Combustion de l'helium: réaction 3α (T ~ 10⁸ K)

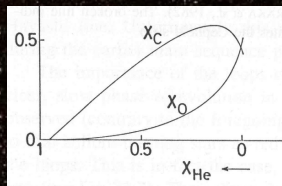


Temps de vie ~ 10⁻¹⁶ s (Be₈^{*}/He₄) ~ 10⁻⁹



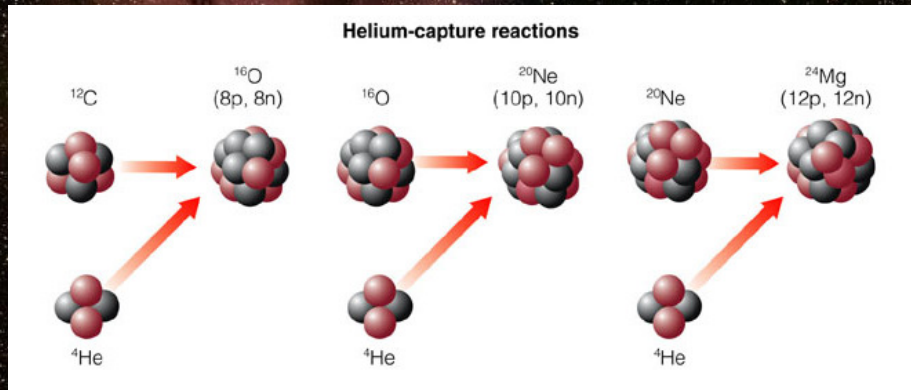
Réaction résonante → très sensible à T $\epsilon \propto \rho^2 T_8^{-3} e^{-44/T_8} \propto \rho^2 T^{40} (T = 10^8 \text{ K})$

$$E_{3\alpha} = 3 \Delta M_{\text{He}_4} - \Delta M_{\text{C}_{12}} = 7.375 \text{ Mev} \ll 26.7 \text{ Mev (pp)}$$



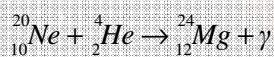
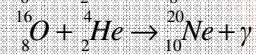
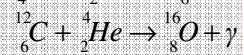
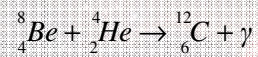
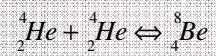
Finalemnt: $\text{C}_{12} \approx \text{O}_{16}$

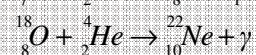
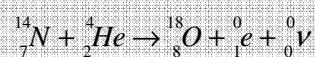
Captures α



Combustion de l'hélium

3. Processus trois alphas ($T > 100 \cdot 10^6 \text{ K}$)

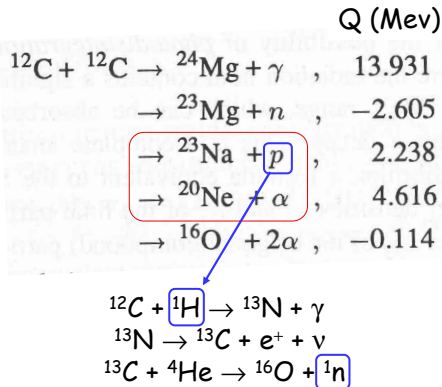




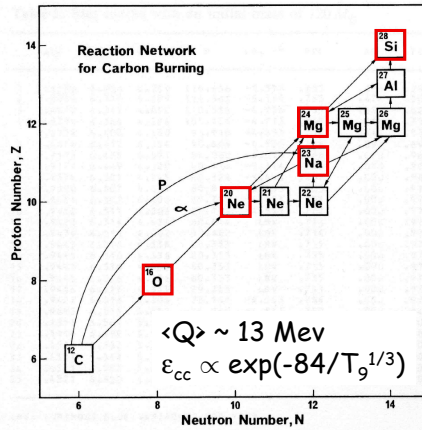
Evolution masses élevées

Les dernières phases de combustion nucléaire

Combustion du carbone ($T \sim (0.5-1) \times 10^9$ K)



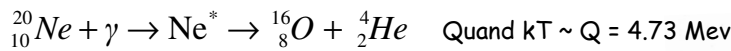
Source de neutrons



Evolution masses élevées

Les dernières phases de combustion nucléaire

Photo-désintégration du néon ($T \sim 1.5 \times 10^9$ K)



Equilibre « thermodynamique » $\rightarrow ^{16}_8\text{O} + ^4_2\text{He} \rightleftharpoons ^{20}_{10}\text{Ne}$

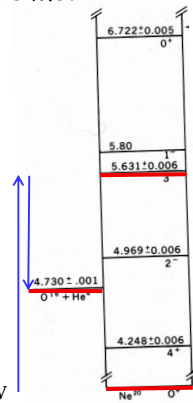
$$\left(\frac{n_1 n_2}{n_{12}}\right)_e = \frac{(2\pi\mu kT)^{3/2}}{h^3} \frac{G_1 G_2}{G_{12}} \exp\left(-\frac{Q}{kT}\right) \sim \text{Saha}$$

$T \nearrow \Rightarrow$ équilibre vers + de photo-dissociations

Autant de réactions dans chaque sens \rightarrow taux de réaction :

$$\lambda_\gamma = \frac{(2\pi\mu kT)^{3/2}}{h^3} \frac{G_1 G_2}{G_{12}} \exp\left(-\frac{Q}{kT}\right) \lambda_{12} \quad \log \lambda_\gamma (s^{-1}) = 12.7 - \frac{28.4}{T_9}$$

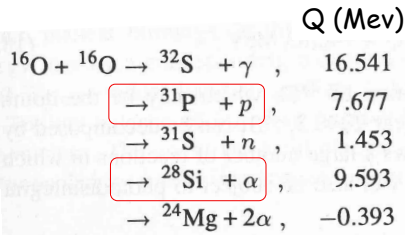
Les noyaux α libérés sont directement capturés :



Evolution masses élevées

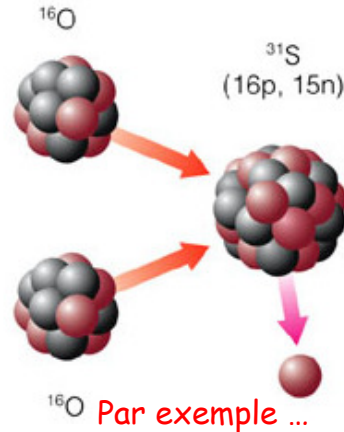
Les dernières phases de combustion nucléaire

Combustion de l'oxygène ($T \sim 2 \times 10^9$ K)



$\langle Q \rangle \sim 16$ Mev

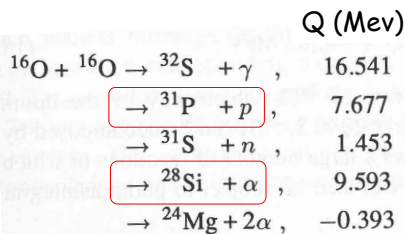
Produit final :
Surtout ^{28}Si (puis ^{32}S , ^{24}Mg)



Evolution masses élevées

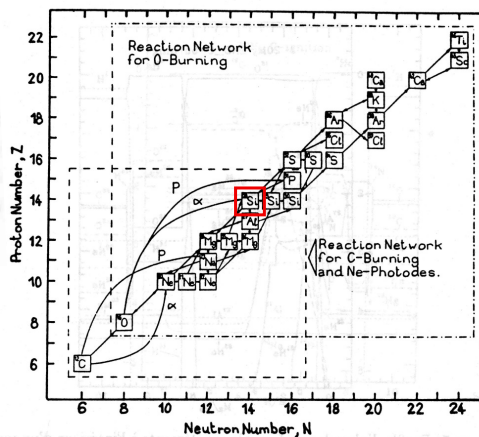
Les dernières phases de combustion nucléaire

Combustion de l'oxygène ($T \sim 2 \times 10^9$ K)



$\langle Q \rangle \sim 16$ Mev

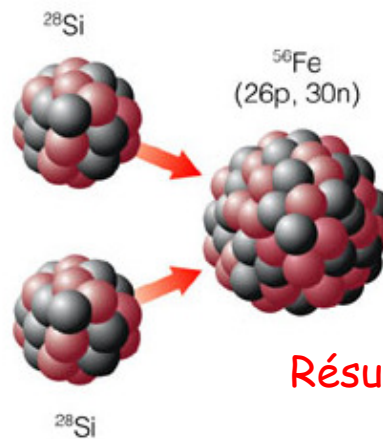
Produit final :
Surtout ^{28}Si (puis ^{32}S , ^{24}Mg)



Evolution masses élevées

Les dernières phases de combustion nucléaire

Combustion du Silicium ($T \sim 3 \times 10^9$ K)



Evolution masses élevées

Les dernières phases de combustion nucléaire

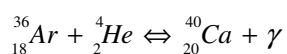
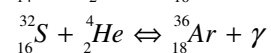
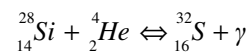
Combustion du Silicium ($T \sim 3 \times 10^9$ K)

$kT \gtrsim Q$ pour les noyaux faiblement liés

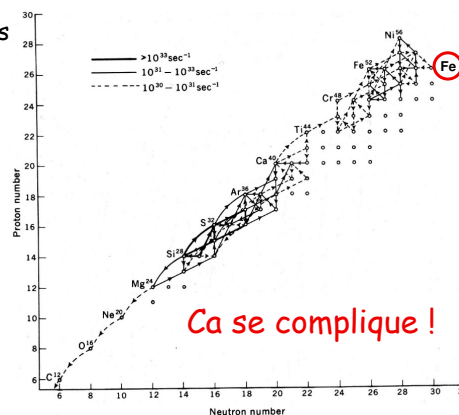
\Rightarrow photodésintégrations et recapture des α par des noyaux mieux liés

\Rightarrow réarrangement : Fe, Ni \nearrow , ...

Captures α :



⋮



Evolution masses élevées

Les dernières phases de combustion nucléaire

Equilibre thermodynamique nucléaire ($T \sim 7 \times 10^9$ K)

$kT \gtrsim Q$ pour la plupart des réactions \Rightarrow équilibre thermodynamique nucléaire
 \Rightarrow taux de réactions directes et inverses égaux
 \Rightarrow rapports d'abondances donnés par les « équations de Saha » :

$$\frac{n_n N_{A-1,Z}}{N_{A,Z}} \propto T^{3/2} \exp\left(-\frac{Q_n}{kT}\right)$$

$$N_{A,Z} = G_{A,Z} A^{3/2} \frac{n_p^Z n_n^{A-Z}}{2^A} \left(\frac{(2\pi M_{A,Z} kT)^{3/2}}{h^3}\right)^{1-A} \exp\left(\frac{Q_{A,Z}}{kT}\right)$$

$$Q_{A,Z} = c^2 [Z M_H + (A - Z) M_n - M(A, Z)]$$

On a tout si on connaît n_p et $n_n \Rightarrow$ 2 autres contraintes requises :

$$\rho = m_u \sum_i \mu_i N_i \quad \frac{\bar{Z}}{\bar{N}} = \frac{\sum Z N_{A,Z} + n_p}{\sum (A - Z) N_{A,Z} + n_n} \quad \begin{array}{l} \text{Fixé car équilibre bien} \\ \text{avant les désintégrations } \beta \end{array}$$

Evolution masses élevées

Les dernières phases de combustion nucléaire

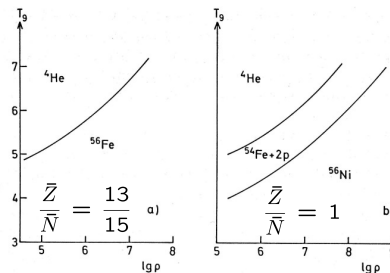
Equilibre thermodynamique nucléaire ($T \sim 7 \times 10^9$ K)

$$N_{A,Z} = G_{A,Z} A^{3/2} \frac{n_p^Z n_n^{A-Z}}{2^A} \left(\frac{(2\pi M_{A,Z} kT)^{3/2}}{h^3}\right)^{1-A} \exp\left(\frac{Q_{A,Z}}{kT}\right)$$

1) $kT \ll Q$ « pas trop grand » \Rightarrow éléments les plus abondants :
 maximum de $f_{A,Z} = Q_{A,Z} / A \Rightarrow$ principalement Ni, puis Fe

2) S'il y a le temps, désintégrations beta
 $\Rightarrow Z/N \searrow (dN_i = -N_i dt/\tau_i)$
 \Rightarrow principalement ^{56}Fe

3) $kT > Q \Rightarrow$ photodésintégrations
 \Rightarrow $^4\text{He}, \dots \nearrow$



Cœur d'une étoile massive

Durée des phases ultimes ($15 M_{\odot}$) :

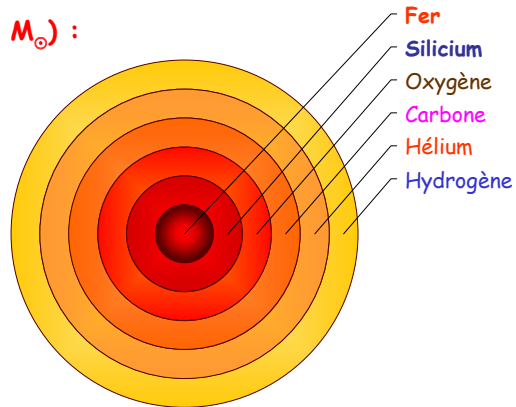
Fusion du

Carbone : ~ 6000 ans

Néon : ~ 7 ans

Oxygène : ~ 2 ans

Silicium : ~ 6 jours

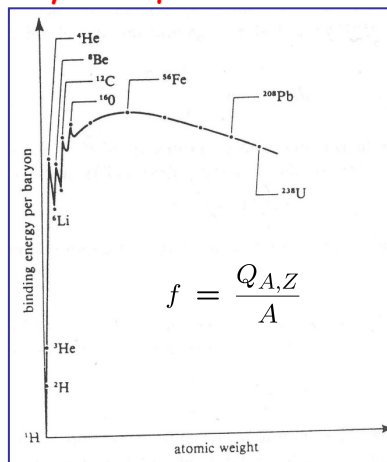


Structure en pelure d'oignon

Evolution masses élevées

Les dernières phases de combustion nucléaire

Equilibre thermodynamique nucléaire ($T \sim 7 \times 10^9$ K)



Equations de structure

Conservation de la masse

$$\frac{\partial r}{\partial m} = \frac{1}{4\pi\rho r^2}$$

$$\rho = \rho(P, T, X_i)$$

$$\kappa = \kappa(P, T, X_i)$$

$$\varepsilon = \varepsilon(P, T, X_i)$$

Equilibre hydrostatique

$$\frac{\partial P}{\partial m} = -\frac{Gm}{4\pi r^4}$$

Transfert d'énergie

Radiation

$$\frac{\partial T}{\partial m} = -\frac{3\kappa L}{64\pi^2 a c r^4 T^3}$$

Convection

$$\frac{\partial T}{\partial m} = -\nabla_{\text{ad}} \frac{Gm T}{4\pi r^4 P}$$

Conservation de l'énergie

$$\frac{\partial L}{\partial m} = \varepsilon$$

+ 4 conditions aux limites

Méthode de résolution numérique

Calcul d'un modèle statique: composition chimique fixée en chaque couche

Posons: $\bar{Y} = (r, P, T, L)$ Non-linéaire !

Système à résoudre: $d\bar{Y}/dm = \bar{f}(\bar{Y})$ (+ 4 conditions aux limites)

Méthode des différences finies \Rightarrow N couches: $i=1, \dots, N$

$$\frac{\bar{Y}_{i+1} - \bar{Y}_i}{m_{i+1} - m_i} = \bar{f}\left(\frac{\bar{Y}_{i+1} + \bar{Y}_i}{2}\right)$$

Algorithme de Newton-Raphson

\Rightarrow Linéarisation du système autour de l'estimation à l'étape k:

$$\frac{\delta\bar{Y}_{i+1} - \delta\bar{Y}_i}{m_{i+1} - m_i} - \overset{\text{Jacobienne}}{J_{\bar{f}}(\delta\bar{Y}_{i+1} + \delta\bar{Y}_i)/2} = \bar{f}\left(\frac{\bar{Y}_{k,i+1} + \bar{Y}_{k,i}}{2}\right) - \frac{\bar{Y}_{k,i+1} - \bar{Y}_{k,i}}{m_{i+1} - m_i}$$

$$\bar{Y}_{k+1,i} \leftarrow \bar{Y}_{k,i} + \delta\bar{Y}_i$$

Système de $4N-2$ équations linéaires

Méthode de résolution numérique

Calcul d'un modèle statique: composition

Posons: $\bar{Y} = (r, P, T, L)$

Système à résoudre: $d\bar{Y}/dm = \bar{f}(\bar{Y})$

Méthode des différences finies \Rightarrow N

$$\frac{\bar{Y}_{i+1} - \bar{Y}_i}{m_{i+1} - m_i} = \bar{f}\left(\frac{\bar{Y}_{i+1} + \bar{Y}_i}{2}\right)$$

Algorithme de Newton-Raphson

\Rightarrow Linéarisation du système autour de l'é

$$\frac{\delta\bar{Y}_{i+1} - \delta\bar{Y}_i}{m_{i+1} - m_i} - J_{\bar{f}}(\delta\bar{Y}_{i+1} + \delta\bar{Y}_i)/2 = \bar{f}\left(\frac{\bar{Y}_{k,i+1} + \bar{Y}_{k,i}}{2}\right) - \frac{\bar{Y}_{k,i+1} - \bar{Y}_{k,i}}{m_{i+1} - m_i}$$

$$\bar{Y}_{k+1,i} \leftarrow \bar{Y}_{k,i} + \delta\bar{Y}_i$$

Système de 4N-2 équations linéaires

	VARIABLES											
	(fitmass) j=1			j=2			j=3			(center) j=4		
	v_1^1	v_2^1	v_3^1	v_1^2	v_2^2	v_3^2	v_1^3	v_2^3	v_3^3	v_1^4	v_2^4	v_3^4
CL 1
CL 2
1-2
1-2
1-2
2-3
2-3
2-3
3-4
3-4
3-4
3-4

Méthode de résolution numérique

Calcul de l'évolution temporelle d'un modèle

L'évolution temporelle découle essentiellement de la variation de composition chimique due aux réactions nucléaires, phénomènes de transport (diffusion, ...)

$\Rightarrow \mu$ change \Rightarrow équation d'état change \Rightarrow structure change

Modèle au temps $t_k \rightarrow$ Modèle au temps $t_{k+1} = t_k + \delta t$

1) Calcul de la nouvelle composition: $X_i(m, t_k) \rightarrow X_i(m, t_{k+1}) = X_i(m, t_k) + \delta X_i$

Cinétique des réactions nucléaires:

$$\frac{\partial X_i}{\partial t} = \frac{m_i}{\rho} \left(\sum_j r_{ji} - \sum_k r_{ik} \right) \simeq \frac{\delta X_i}{\delta t}$$

Attention aux échelles de temps !

Certaines réactions sont très rapides

(combustion du deutérium, ...)

\Rightarrow forcer la mise à l'équilibre,
ou utiliser une méthode implicite



$$r_{ac} = \langle \sigma v \rangle_{abc} X_A X_B$$

2) Avec la nouvelle composition chimique, le modèle en t_k n'est plus solution des équations

\Rightarrow on itère (méthode de Newton-Raphson) jusqu'à la convergence

On obtient ainsi le modèle en t_{k+1}

Méthode de résolution numérique

Calcul de l'évolution temporelle d'un modèle

L'évolution temporelle découle essentiellement de la variation de composition chimique due aux réactions nucléaires, phénomènes de transport (diffusion, ...)

⇒ μ change ⇒ équation d'état change ⇒ structure change

Modèle au temps t_k → Modèle au temps $t_{k+1} = t_k + \delta t$

1) Calcul de la nouvelle composition: $X_i(m, t_k) \rightarrow X_i(m, t_{k+1}) = X_i(m, t_k) + \delta X_i$

Cinétique des réactions nucléaires:

Exemple du deuterium

Attention aux échelles de temps!

Certaines réactions sont très rapides (combustion du deuterium, ...)

⇒ forcer la mise à l'équilibre, ou utiliser une méthode implicite



$$\frac{dD}{dt} = \langle \sigma v \rangle_{pp} \frac{H^2}{2} - \langle \sigma v \rangle_{pd} HD$$

$$\rightarrow \left(\frac{D}{H}\right)_{eq} = \frac{\langle \sigma v \rangle_{pp}}{2 \langle \sigma v \rangle_{pd}} \approx 10^{-17}$$

2) Avec la nouvelle composition chimique, le modèle en t_k n'est plus solution des équations

⇒ on itère (méthode de Newton-Raphson) jusqu'à la convergence

On obtient ainsi le modèle en t_{k+1}

Contraction gravifique

Formation des étoiles





Contraction gravifique

Instabilité du nuage proto-stellaire (H₂)

Critère de Jeans : le nuage est instable si

Longueur d'onde de la perturbation $\lambda \geq \lambda_J = \left(\frac{\pi}{G\rho}\right)^{1/2} v_s \approx \tau_{ff} v_s \rightarrow v_s^2 = P/\rho = \mathcal{R} T/\mu$ Vitesse du son isotherme

Si $\tau_{ff} v_s < \lambda$, le milieu n'a pas le temps de contrebalancer la perturbation sur l'échelle de temps de chute libre $\tau_{ff} \rightarrow$ effondrement

$$M \geq M_J = \left(\frac{\pi \mathcal{R}}{G\mu}\right)^{3/2} T^{3/2} \rho^{-1/2}$$

$\rho \sim 10^{-24} \text{ g/cm}^3, T \sim 10 \text{ K}, \mu=2 \rightarrow M_J \sim 1000 M_\odot$

Contraction gravifique

Etape 1 : Effondrement gravifique ~ isotherme

Temps de chute libre $\sim (G\rho)^{-1/2} \sim 10^8$ ans \gg temps d'ajustement thermique $\sim \lambda/c$ (milieu optiquement mince)

Contraction isotherme

$$M_J \sim \rho^{-1/2}$$

Fragmentations

Contraction gravifique

Etape 1 : Effondrement gravifique ~ isotherme

Fragmentations car $M_J \downarrow$

Etape 2 : Effondrement gravifique ~ adiabatique

Quand $M \sim 1 M_\odot$, temps de chute libre \sim temps d'ajustement thermique :

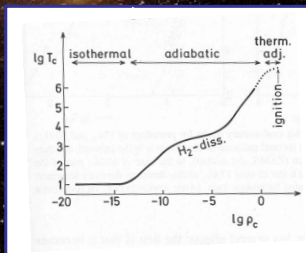
Contraction adiabatique $\rightarrow T_c, P_c \uparrow$

- Apparition d'un 1^{er} front d'onde de choc



- Apparition d'un 2^{er} front d'onde de choc

- Equilibre hydrostatique



Etape 3 : Contraction gravifique tout en maintenant l'équilibre hydrostatique

Théorème du Viriel

Equilibre hydrostatique $\frac{\partial P}{\partial m} = -\frac{Gm}{4\pi r^4}$

Masse $\frac{\partial r}{\partial m} = \frac{1}{4\pi r^2 \rho}$

Intégration par partie

$$\int_0^M 4\pi r^3 \frac{\partial P}{\partial m} dm = \left[4\pi r^3 P \right]_0^M - \int_0^M 12\pi r^2 \frac{\partial r}{\partial m} P dm$$

$$\int_0^M \frac{Gm}{r} dm = 3 \int_0^M \frac{P}{\rho} dm$$

Gaz parfait ionisé dégenéré ou non, non-relativiste

$$\frac{P}{\rho} = \frac{2}{3} u$$

$$E_g := - \int_0^M \frac{Gm}{r} dm$$

Energie potentielle gravifique totale

$$E_g = - 2 E_i$$

$$E_i = \int_0^M u dm$$

Etape 3 : Contraction gravifique tout en maintenant l'équilibre hydrostatique

Théorème du Viriel

$$\int_0^M \frac{Gm}{r} dm = 3 \int_0^M \frac{P}{\rho} dm$$

$$E_g = - 2 E_i \quad (\text{Gaz parfait})$$

Energie totale : $E_{tot} = E_i + E_g$

Conservation de l'énergie globale sans production interne

Pas de réactions nucléaires !

Si réactions nucléaires, remplacer L par $L - \int \epsilon dm$

$$L = - dE_{tot}/dt = - dE_i/dt - dE_g/dt \\ = dE_i/dt = -(1/2) dE_g/dt$$

La moitié de l'énergie potentielle gravifique libérée lors de la contraction de l'étoile conduit à une augmentation de son énergie interne, l'autre moitié est rayonnée.

Temps d'Helmoltz - Kelvin : $\tau_{HK} = GM^2 / (2RL)$

Naissance ou non des réactions nucléaires ?

Rôle de la dégénérescence

Question : lors de la contraction gravifique, T_c augmente-t-elle toujours ?

Theorème du Viriel $\Rightarrow P/\rho$ augmente

Pour un gaz parfait : $P/\rho \propto T \rightarrow$ **oui** pour un gaz parfait non-dégénéré

Mais ... ce n'est plus le cas pour un gaz dégénéré.

Contraction homologue

$$r \longrightarrow r' = x r = r + dr = (1+dr/r) r \quad dr/r = x-1 = \text{cst}$$

$$\rho \longrightarrow \rho' = \rho/x^3 \longrightarrow d\rho/\rho = \rho'(m)/\rho(m) - 1 = 1/(1+dr/r)^3 - 1 = -3 dr/r$$

$$P = \text{Poids} \longrightarrow P' = \text{Poids}' \longrightarrow dP/P = P'(m)/P(m) - 1 = 1/(1+dr/r)^4 - 1 = -4 dr/r$$

Naissance ou non des réactions nucléaires ?

Rôle de la dégénérescence

Contraction homologue

$$r \longrightarrow r' = x r = r + dr = (1+dr/r) r \quad dr/r = x-1 = \text{cst}$$

$$\rho \longrightarrow \rho' = \rho/x^3 \longrightarrow d\rho/\rho = \rho'(m)/\rho(m) - 1 = 1/(1+dr/r)^3 - 1 = -3 dr/r$$

$$P \longrightarrow P' = P/x^4 \longrightarrow dP/P = P'(m)/P(m) - 1 = 1/(1+dr/r)^4 - 1 = -4 dr/r$$

$$\longrightarrow dP/P = (4/3) d\rho/\rho$$

Equation d'état générale : $d\rho/\rho = \alpha dP/P - \delta dT/T$

$$\begin{aligned} \longrightarrow dT/T &= (\alpha/\delta) dP/P - (1/\delta) d\rho/\rho \\ &= (4\alpha-3)/(3\delta) d\rho/\rho \end{aligned}$$

Naissance ou non des réactions nucléaires ?

Rôle de la dégénérescence

$$d\rho/\rho = \alpha dP/P - \delta dT/T$$

$$dT/T = (4\alpha - 3)/(3\delta) d\rho/\rho$$

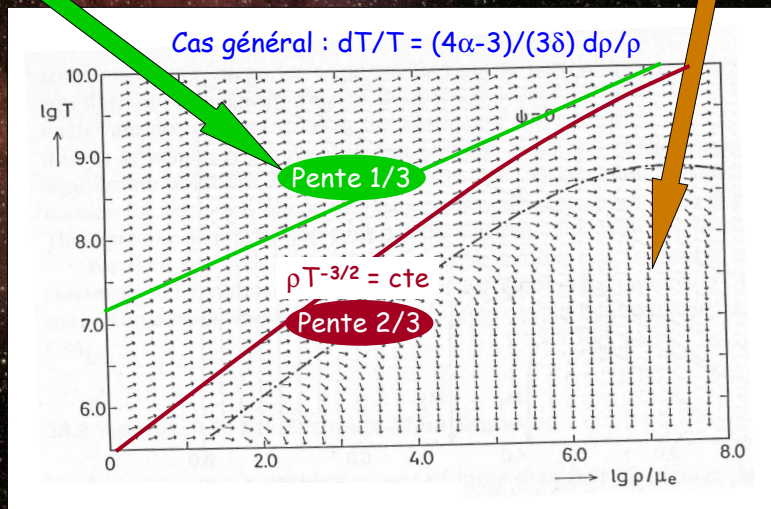
Pour un gaz parfait : $\alpha = 1$, $\delta = 1$ → $dT/T = (1/3) d\rho/\rho$
 non-dégénéré $T \nearrow$

Pour un gaz dégénéré : $\alpha = 3/5$, $\delta = 0$ → $dT/T = -\infty d\rho/\rho$
 non-relativiste $T \searrow$

L'énergie gravifique libérée lors de la contraction n'est pas suffisante pour accélérer les électrons dégénérés (énergie de Fermi \nearrow).
 L'énergie manquante est puisée dans l'énergie cinétique des ions non-dégénérés de sorte que la température diminue.

Pour un gaz parfait :
 $dT/T = (1/3) d\rho/\rho$

Pour un gaz dégénéré : $dT/T = -\infty d\rho/\rho$
 non-relativiste



ψ : paramètre de dégénérescence

Naissance ou non des réactions nucléaires ?

Dilatation homologue avec changement de masse

$$r \longrightarrow r' = x r = r + dr = (1+dr/r) r$$

$$m(r) \longrightarrow m'(r') = q m(r) = (1+dm/m) m(r)$$

$$\rho = dm/(4\pi r^2 dr) \longrightarrow \rho' = dm'/dr'/(4\pi r'^2) = (q/x)dm/dr / (4\pi x^2 r^2) = (q/x^3) \rho$$

$$\longrightarrow dp/\rho = (1+dm/m)/(1+dr/r)^3 - 1 = dm/m - 3 dr/r$$

$$P = \int_m^M Gm/(4\pi r^4) dm \longrightarrow P' = \int_m^M Gm'/(4\pi r'^4) dm' = (q^2/x^4) P$$

$$\longrightarrow dP/P = (1+dm/m)^2/(1+dr/r)^4 - 1 = 2 dm/m - 4 dr/r$$

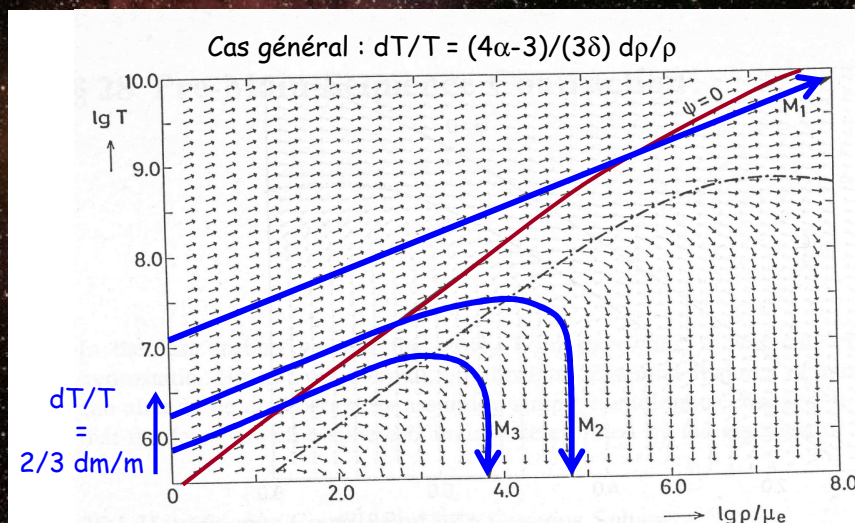
A densité fixée : $dp/\rho = 0 \longrightarrow dr/r = 1/3 dm/m \longrightarrow dP/P = 2/3 dm/m$

Pour un gaz parfait: $dT/T = dP/P - dp/\rho = dP/P = 2/3 dm/m$

Plus la masse est élevée, plus la température centrale est élevée
(à densité fixée)

Evolution de T_c en fonction de ρ_c

Pour un gaz parfait : $dT/T = (1/3) dp/\rho$ Pour un gaz dégénéré : $dT/T = -\infty dp/\rho$
non-relativiste



Naissance ou non des réactions nucléaires ?

Effet de la masse sur la trajectoire (ρ_c, T_c)

Température requise pour la combustion de l'hydrogène :

$$T_c \sim 10^7 \text{ K}$$

Masse critique :

$$M = 0.08 M_\odot$$

Si $M < 0.08 M_\odot$, l'étoile n'atteint jamais la température requise pour initier la combustion de l'hydrogène (à cause de la dégénérescence)

→ **Naine brune**

Refroidissement des naines brunes et blanches

Théorème du Viriel

$$\int_0^M \frac{Gm}{r} dm = 3 \int_0^M \frac{P}{\rho} dm$$

$$P_e = \frac{8\pi}{15h^3} \frac{p_F^5}{m_e}$$

$$E_g := - \int_0^M \frac{Gm}{r} dm$$

Energie potentielle gravifique totale

$$u_e = \frac{1}{\rho} \int_0^{p_F} E(p) \frac{8\pi p^2}{h^3} dp = \frac{1}{\rho} \frac{8\pi p_F^5}{10h^3 m_e} = \frac{3}{2} \frac{P_e}{\rho}$$

$$E_{i, \text{tot}} = \int_0^M u dm = 3/2 \int_0^M (P/\rho) dm$$

Energie interne totale

$$E_g = - 2 E_{i, \text{tot}}$$

$$-1/2 dE_g/dt = L = dE_i/dt$$

L'énergie interne totale augmente lors de la contraction d'un gaz dégénéré (naine blanche) aussi !!

Les naines blanche : refroidissement

Théorème du Viriel

$$-1/2 \delta E_g = \delta E_{i,tot}$$

$E_{i,tot}$: Energie interne totale (ions + électrons)

E_g : Energie potentielle gravifique

E_e : Energie interne des électrons

$$E_e = \frac{3}{2} \int_0^M \frac{P_e}{\rho} dm = \frac{3}{2} K \int_0^M \rho^{2/3} dm \quad \begin{array}{l} \delta\rho/\rho \\ = \text{cst.} \rightarrow \\ = -3 \delta r/r \end{array} \rightarrow \frac{\delta E_e}{E_e} = \frac{2}{3} \frac{\delta\rho}{\rho}$$

$$E_g := - \int_0^M \frac{Gm}{r} dm \rightarrow \frac{\delta E_g}{E_g} = - \frac{\delta r}{r} = \frac{1}{3} \frac{\delta\rho}{\rho} \rightarrow \frac{\delta E_e}{E_e} = 2 \frac{\delta E_g}{E_g}$$

$$E_g = -2 E_{i,tot} \rightarrow \delta E_e = - \frac{E_e}{E_{i,tot}} \delta E_g \simeq - \delta E_g \leftarrow E_{ions} \ll E_e$$

Toute l'énergie gravifique libérée augmente l'énergie cinétique des électrons

Les naines blanches : refroidissement

$$dE_e/dt \simeq -dE_g/dt$$

Toute l'énergie gravifique libérée augmente l'énergie cinétique des électrons

$$L = -dE_{tot}/dt = -dE_{ions}/dt - dE_e/dt - dE_g/dt \\ = -dE_{ions}/dt$$

Toute l'énergie rayonnée est puisée dans l'énergie cinétique des ions

→ La température diminue

Découplage

Hydrostatique, gravité :
Gaz d'électrons

Thermique :
Gaz d'ions

Les naines blanches : refroidissement

Toute l'énergie rayonnée est puisée dans l'énergie cinétique des ions

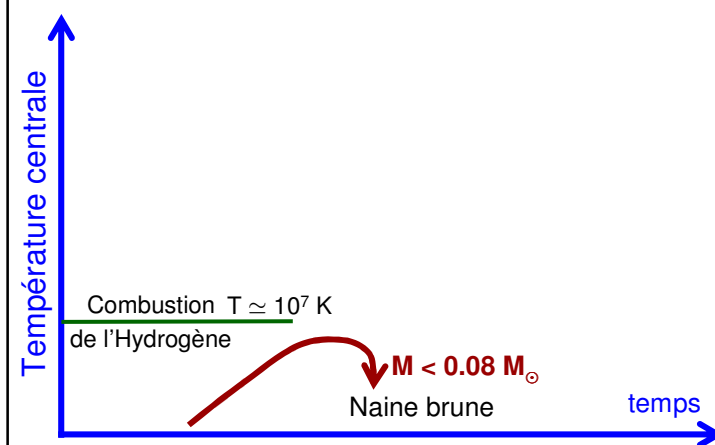
Cœur quasi isotherme
(conduction électronique très efficace)

$$E_{ions} = \int_0^M u_{ions} dm = c_v T_0 M$$

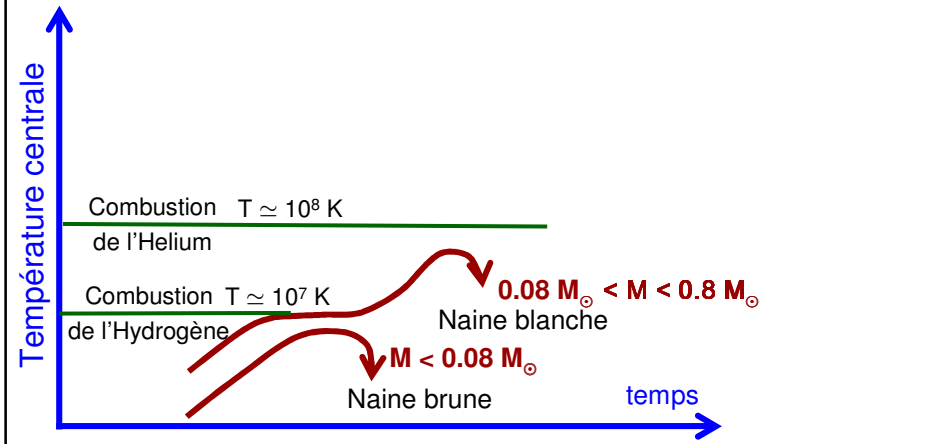
$$L = - d E_{ions} / dt = - c_v M dT_0 / dt$$

→ La température diminue lentement

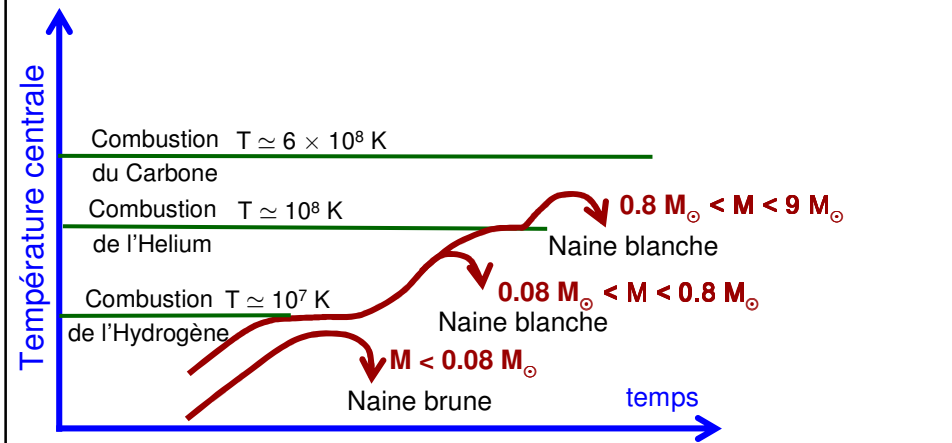
Panorama des scénarios possibles d'évolution des étoiles



Panorama des scénarios possibles d'évolution des étoiles



Panorama des scénarios possibles d'évolution des étoiles



Panorama des scénarios possibles d'évolution des étoiles

